

KYMENLAAKSON AMMATTIKORKEAKOULU

Elektroniikan koulutusohjelma / Elektroniikan suuntautumisvaihtoehto

Esa Heikkilä

UHF-ALUEEN RFID-LUKIJAN ALUSTAVA OHJAUS

Opinnäytetyö 2010

TIIVISTELMÄ

KYMENLAAKSON AMMATTIKORKEAKOULU

Elektroniikka

HEIKKILÄ, ESA

Insinööri

Työn ohjaaja

Toimeksiantaja

Toukokuu 2010

Avainsanat

UHF-alueen RFID-lukijan alustava ohjaus

43 sivua + 18 liitesivua

Lehtori Marko Saxell

Kymenlaakson Ammattikorkeakoulu Oy

RFID, mikro-ohjain, Atmel AVR, EPC Class-1 Gen 2

Passiivisten UHF-alueen RFID-tunnisteiden käyttö tavaroiden automaattiseen tunnistukseen on lisääntynyt muutaman vuoden aikana huomattavasti. Yhtenä syynä tähän on internetin kautta vapaassa levityksessä oleva EPCglobal UHF Class-1 Gen 2 -standardi, joka määrittelee fyysiset ja loogiset vaatimukset UHF-alueella toimivalle passiivisten RFID-tunnisteiden järjestelmälle.

Tässä opinnäytetyössä oli tarkoitus toteuttaa mikro-ohjaimilla EPCglobal UHF Class-1 Gen 2 -standardin mukaisen RFID-tunnisteen lukusimulaatio. Työ toteutettiin kahdella Atmelin AVR-mikro-ohjaimella. Toisella mikro-ohjaimella mallinnettiin lukijaa ja toisella tunnistetta. Mikro-ohjaimia käytettiin ja ohjelmoitiin mikro-ohjainten testaukseen tarkoitetuilla mikro-ohjainkortteilla. Tunnisteen lukusimulaation sisältämien signaalintien mittauksiin käytettiin PicoScope 2205-PC-oskilloskooppia ja tunnistetieto todennettiin PC:llä sarjaportin välityksellä.

Työn tuloksena valmistui standardin mukaisesti toimiva lukusimulaatio, joka täyttää standardin asettamat signaalintien aikavaatimukset ja koodaukset. Työssä mikro-ohjaimilla tehty toteutus tarjoaa toimivat RFID-lukijan ohjauksen periaatteet jatkossa mahdollisesti kehitettävälle RFID-lukijan toteutukselle.

ABSTRACT

KYMENLAAKSON AMMATTIKORKEAKOULU

University of Applied Sciences

Electronics Engineering

HEIKKILÄ, ESA

Preliminary Control of an RFID Reader for UHF Frequencies

Bachelor's Thesis

43 pages + 18 pages of appendices

Supervisor

Marko Saxell, Senior lecturer

Commissioned by

Kymenlaakso University of Applied Sciences

May 2010

Keywords

RFID, microcontroller, Atmel AVR, EPC Class 1 Gen 2

Passive RFID tags are commonly used for automatic item management. In the past few years, RFID systems for passive tags at UHF frequencies have increased rapidly. One reason for this is the EPCglobal UHF Class 1 Gen 2 standard. The Standard defines the physical and logical requirements for a passive-backscatter RFID system and is freely available via the Internet.

The goal of this work was to implement a simulated tag identification for a passive RFID tag as defined in the EPCglobal UHF Class 1 Gen 2 standard using microcontrollers. The implementation was made by using Atmel AVR microcontrollers, which were used and programmed with development boards. One was modelled as a reader and the other as a tag. The correct simulation signaling was verified by doing the needed measurements with a PicoScope 2205 PC-oscilloscope. The coding was verified with a PC-terminal program.

As a result, a functionally correct simulation meeting the requirements for timing and coding as set in the standard was achieved. The simulated tag identification made with microcontrollers offers functional principles for a later and more sophisticated application.

SISÄLLYS

TIIVISTELMÄ

ABSTRACT

LYHENTEET JA TERMIT

1 JOHDANTO	7
2 RFID-TEKNIikka	7
2.1 Lukija ja tunniste	8
2.2 Taajuusalueet ja standardit	9
3 EPCGLOBAL CLASS-1 GEN 2 -STANDARDI	11
3.1 Standardin ominaisuudet	12
3.2 Tunnistekoodin lukuproseduuri	21
4 TOTEUTUSLAITTEISTO	22
4.1 Mikro-ohjain	22
4.2 Atmel AVR -mikro-ohjaimet	25
4.3 EXB2313-alusta	26
4.4 PROJ32/644-alusta	28
4.5 PicoScope 2205-PC-oskilloskooppi	29
5 TOTEUTUKSEN OHJELMISTOT	30
6 ALUSTAVAN RFID-LUKIJAN OHJAUKSEN TOTEUTUS	30
6.1 Lukijan simulointikoodin analysointi	39
6.2 Tunnisteen simulointikoodin analysointi	41
7 YHTEENVETO	42
LÄHTEET	43
LIITTEET	
Liite 1. CRC-5-tarkistuksen laskenta	
Liite 2. Lukijan simulointikoodi	
Liite 3. Tunnisteen simulointikoodi	

LYHENTEET JA TERMIT

A/D-muunnin	<i>Analog to Digital</i> , elektroninen kytkentä analogisen tiedon muuttamiseksi digitaaliseen muotoon
ASK	<i>Amplitude-shift keying</i> , digitaalinen modulointimenetelmä
AVR	Atmelin mikro-ohjaimia kuvaava kirjainyhdistelmä
Binaariluku	binaarijärjestelmän luku, jossa lukujen merkintää käytetään numeroita 0 ja 1
BLF	<i>Backscatter-link frequency</i> , linkkitaajuuden merkintä
CISC	<i>Complex Instruction Set Computer</i> , mikroprosessorityyppi
CRC	<i>Cyclic Redundancy Check</i> , tiedonsiirrossa käytettävä virheentarkistusmenetelmä
Data-0	0-bitin koodaussymboli PIE-koodauksessa
Data-1	1-bitin koodaussymboli PIE-koodauksessa
Dipoliantenni	kahden eri suuntiin erkanevan johtimen muodostama antenni
DR	<i>Divide Ratio</i> , linkkitaajuuden määrittämiseen käytettävä jakosuhte
DSB-ASK	<i>Double-sideband amplitude-shift keying</i> , digitaalinen modulointimenetelmä
EEPROM	<i>Electrically Erasable Programmable Read Only Memory</i> , sähköisesti purettava, haihtumaton luku-kirjoitusmuisti
EPC	<i>Electronic Product Code</i> , sähköinen tuotekoodi
FM0	<i>Bi-phase space encoding</i> , koodausmenetelmä jossa koodattavat tiedot kuvataan erilaisilla signaalin tilanvaihdolla
Half duplex	tiedonsiirtomenetelmä jossa tietoa siirretään yhteensuuntaan kerrallaan
HF	<i>High Frequencies</i> , radioaaltojen taajuusalue 3 – 30 MHz
IEC	<i>International Electrotechnical Commission</i> , kansainvälinen sähköalan standardointijärjestö
I/O-liitäntä	<i>Input/Output</i> , tulo/lähtö-liitäntä
ISM-taajuusalueet	<i>Industrial, Scientific and Medical</i> , maailmanlaajuiset lupavapaat taajuusalueet
ISO	<i>International Organization for Standardization</i> , kansainvälinen standardointijärjestö

ITF	<i>Interrogator-Talks-First</i> , RFID-lukijan ja tunnisteiden välinen tunnistusmenettely, jossa lukija aloittaa tiedonsiirron
Kantoaalto	lukijalta lähetettävä toimintataajuinen, moduloimaton ja sinimuotoisesti vaihteleva radioaalto
LF	<i>Low Frequencies</i> , radioaaltojen taajuusalue 30 – 300 kHz
Linkkitaajuus	tiedonsiirtotaajuus tunnisteelta lukijalle
Modulointi	menetelmä jolla koodattu data sovitetaan siirtotielle
PC-bitit	<i>Protocol-control bits</i> , tunnisteelta lähetettävän datamäärän ilmoittavien protokollabittien merkintä
PIE	<i>Pulse-interval encoding</i> , koodausmenetelmä jossa koodattavat tiedot kuvataan eripituisilla pulsseilla
PR-ASK	<i>Phase-reversal amplitude-shift keying</i> , digitaalinen modulointimenetelmä
PSK	<i>Phase-shift keying</i> , digitaalinen modulointimenetelmä
Radioaalto	taajuusalueella 3 Hz - 3 GHz esiintyvän sähkö- ja magneettikentästä koostuvan sähkömagneettisen säteilyn nimitys
RFID	<i>Radio Frequency Identification</i> , radioaalloilla toteutettava etätunnistustekniikka
RISC	<i>Reduced Instruction Set Computer</i> , mikroprosessorityyppi
RN16	16-bittinen satunnaisluku
RTcal	<i>Interrogator-to-Tag calibration symbol</i> , lukijan lähettämä kalibrointisymboli 0- ja 1-bitin tulkintaan
SPI	<i>Serial Peripheral Interface</i> , sarjaliikenneliitäntä jota Atmelin AVR-mikro-ohjaimissa käytetään ohjelmointiliitäntänä
SRAM	<i>Static Random Access Memory</i> , mikro-ohjaimissa käyttömuistina käytettävä muistityyppi
SSB-ASK	<i>Single-sideband amplitude-shift keying</i> , digitaalinen modulointimenetelmä
Tari	<i>Type A Reference Interval</i> , PIE-koodauksessa käytettävä vertailuajaväli
TID	<i>Tag ID</i> , tunnisteiden muistialueen merkintä
TRcal	<i>Tag-to-Interrogator calibration symbol</i> , lukijan lähettämä kalibrointisymboli linkkitaajuuden määrittämiseen
UHF	<i>Ultra High Frequencies</i> , radioaaltojen taajuusalue 300 – 3000 MHz

1 JOHDANTO

Tässä opinnäytetyössä tehtiin alustava UHF-alueen RFID-lukijan ohjausmenettely. Työ tehtiin Kymenlaakson ammattikorkeakoululle ja se on jatkoa aiemmin tehdyille RFID-tekniikkaa käsitteleville opinnäytetöille. Työn tavoitteena oli tehdä EPCglobal UHF Class 1 Gen 2 -standardin mukainen RFID-tunnisteen lukusimulaatio. Kyseinen standardi määrittelee 860 - 960 MHz:n taajuusalueella toimivien passiivisten RFID-tunnisteiden ja näiden lukijan välisen yhteyskäytännön.

Atmelin AVR-mikro-ohjaimilla toteutetun simuloinnin toimivuus todennettiin Pico-Scope-PC-oskilloskoopin avulla. Simuloinnissa toinen mikro-ohjain mallinsi lukijaa ja toinen tunnistetta. Työn keskeisin osa oli suunnitella ja toteuttaa mikro-ohjaimien ominaisuuksilla standardin määräämät koodaukset. Mikro-ohjaimien täytyi kyetä tekemään koodaus ja dekkoodaus PIE- ja FM0-koodausten mukaisesti. Lisäksi lukijan tuli toteuttaa määritetyt ohjauskäytännöt. Tässä työn dokumentaatiossa esitetään toteutuksen johdannoksi lyhyt katsaus RFID-tekniikkaan ja sen sisältämiin standardeihin, mutta pääpaino on työn kohteena olevassa EPCglobal UHF Class 1 Gen 2 -standardissa. Työn toteutusosa koostuu suurelta osin tehdyistä mittauksista. Työssä simulointiin tehdyt mikro-ohjainten ohjelmakoodit esitetään selkeyden vuoksi liitteinä.

2 RFID-TEKNIikka

Lyhenteellä RFID (Radio Frequency Identification) tarkoitetaan yleisesti radioaaltojen avulla toteutettua etätunnistustekniikkaa. RFID-tekniikka kattaa laajan joukon eri järjestelmiä, joiden tunnusomaisena piirteenä tiedon sisältävän tunnisteen ja tiedon lukijan välillä ei ole fyysistä kontaktia, vaan viestintä tapahtuu radioaaltojen välityksellä.

RFID-järjestelmä koostuu yksinkertaisimmillaan lukijasta ja tunnisteista sekä tietokoneesta. Järjestelmässä RFID-tunniste on liitettyä tunnistettavaan kohteeseen, sisältäen kohteeseen liittyvää informaatiota. Informaatio voidaan lukea tai kirjoittaa tunnisteseen RFID-lukijan synnyttämien radioaaltojen avulla. Lukija on yhteydessä tietokoneeseen, joka on varustettuna tunnistetiedon kerääväällä RFID-ohjelmistolla. RFID-ohjelmistolla hallinnoidaan lukijan ja tunnisteen välistä tiedonsiirtoa sekä suoritetaan

tiedonkäsittelyä luetulle datalle. Tiedonkäsittelyssä tehdään varsinainen kohteen tunnistus, jossa tunnisteesta luettu koodi liitetään vastaamaan määrättyä kohdetta.

RFID-tekniikka kuuluu viivakooditunnistuksen tavoin automaattisiin tunnistustekniikoihin. Tekniikka tarjoaa kuitenkin monia etuja viivakoodiin verrattuna. Esi-merkkeinä tunnisteiden sisältämää tietoa voidaan lukea ilman suoraa näköyhteyttä tunnisteeseen ja tunnisteeseen voidaan tallentaa viivakoodia suurempi määrä tietoa. Lisäksi tunnisteeseen tallennettu tieto voidaan vaihtaa uuteen tarvittaessa, toisin kuin tulostettuihin viivakoodeihin. RFID-tunnisteiden heikkoutena viivakoodiin nähden on korkeampi valmistuskustannus, minkä vuoksi RFID-tekniikka ei kaikissa sovelluskohteissa ole kannattava viivakoodin korvaavana tekniikkana. RFID-tekniikkaa sovelletaan nykyään jo todella moniin eri tarkoituksiin. Tekniikkaa käytetään mm. tilaus- ja toimituslogistiikkaan, teollisuuden valmistusprosessien seurantaan, kauppojen vähittäismyyntiin, kulunvalvontaan, eläinten merkintään, maksujärjestelmiin ja varkauden estoon. (1.)

2.1 Lukija ja tunniste

RFID-lukija on laite, jonka avulla voidaan langattomasti sekä lukea tietoa RFID-tunnisteesta että tallentaa tietoa tunnisteeseen. Luku- sekä kirjoitustoiminnon lisäksi lukija toimii myös virtalähteenä passiivisille RFID-tunnisteille. Pystyäkseen kommunikoidaan tunnisteiden kanssa lukijan ja tunnisteiden täytyy olla yhteensopivia keskenään. Tämä tarkoittaa sitä, että lukija ja tunniste toimivat samalla taajuusalueella ja käyttävät tiedonsiirtoon samaa tiedonsiirtoprotokollaa. Tästä vuoksi eri taajuusalueella toimivat ja eri tiedonsiirtoprotokollaa käyttävät tunnisteet tarvitsevat omat lukijansa. RFID-lukija sisältää kuitenkin samat pääpiirteet käyttötaajuudesta ja lukutavasta riippumatta. Lukija voidaan jakaa toiminnallisesti ohjausosaan ja suurtaajuusosaan. Ohjausosa on yhteydessä RFID-lukijaa ohjaavan tietokoneen RFID-ohjelmistoon ja toteuttaa sen antamia käskyjä. Lukijan ohjausosa ohjaa lukijan ja tunnisteiden välistä tiedonsiirtoa ja tekee lähetettävän tiedon koodauksen ja vastaanotetun tiedon dekodauksen käytetyn tiedonsiirtoprotokollan mukaisesti. Suurtaajuusosan tehtäviin kuuluu suurtaajuuden lähetystehon muodostus sekä koodatun signaalin modulointi ja vastaavasti vastaanotetun signaalin demodulointi. (1.)

RFID-tunniste koostuu yksinkertaisimmillaan muistin sisältävästä mikrosirusta ja siihen liitetystä radioaallon kytkentäelementistä. Kytkentäelementti riippuu käytetyn järjestelmän taajuusalueelle soveltuvasta kytkentäelementistä ja yleensä joko käämitty

johdin tai dipoliantenni. Tunnisteen fyysinen koko määräytyy suurelta osin kytkentä-elementistä ja tunnistetyypistä. Tunnisteita on montaa eri muotoa ja kokoa. Se voi esimerkiksi olla tunnistettavaan kohteeseen liitettävä kortti, liimattava tarra, nappi tai jopa ihon alle sijoitettava implantti. (2.)

RFID-tunnisteet voidaan jakaa niiden toimintaperiaatteen mukaisesti aktiivisiin, passiivisiin ja puolipassiivisiin tunnisteesiin. Aktiiviset tunnisteen sisältävät mikrosirun lisäksi oman lähettimen ja virtalähteenä toimivan pariston. Aktiiviset tunnisteen saavat herätesignaalin lukijalta, mutta käyttävät omaa virtalähdettä tunnistetiedon lähettämiseen. Tunnisteiden sisältämä lähetin ja virtalähde mahdollistavat aktiivisille tunnisteeille useiden kymmenien metrien lukuetaisyuden. Samalla ne kuitenkin tekevät tunnistetyypistä hinnaltaan kaikkein kalleimman, ja lisäksi virtalähteen ehtyminen rajoittaa tunnisteen käyttöikä. Passiiviset tunnisteen eivät sisällä omaa virtalähdettä, vaan käyttävät tiedonsiirtoon lukijan lähettämää radioaaltoa, lähettämällä osan radioaaltoa lukijalle takaisin. Samasta lukijan radioaaltoa tunnisteen saavat myös käyttöjännitteenä. Passiivinen tunniste onkin tästä ominaisuudesta johtuen tunnistetyypeistä edullisin. Tunnisteen virtalähteettömyys rajoittaa passiivisten tunnisteen lukuetaisyuden alle kymmeneen metriin. Puolipassiiviset tunnisteen sijoittuvat aktiivisten ja passiivisten tunnisteen väliin. Ne sisältävät oman virtalähteen, kuten aktiiviset tunnisteen, mutta käyttävät passiivisten tunnisteen tavoin tiedonsiirtoon lukijan radioaaltoja. Puolipassiivisissa tunnisteeissa paristo toimii käyttöjännitteenä tunnisteen mikropiirille, mutta sitä ei käytetä tiedonsiirtoon. (2.)

2.2 Taajuusalueet ja standardit

Radioaaltojen taajuusalueilla katsottuna erilaiset RFID-järjestelmät toimivat LF-, HF- ja UHF-alueella. Lisäksi virallisesta taajuusaluejaosta poiketen käytetään nimitystä mikroaaltoalueen RFID-järjestelmä yli gigahertsin taajuudella toimivasta järjestelmästä.

Radioaalto koostuu kahdesta komponentista: sähkö- ja magneettikentästä. Tiedonsiirron kannalta radioaallon sisältämä informaatio voidaan vastaanottaa valinnaisesti joko sähkö- tai magneettikentästä, koska ne sisältävät saman informaation. RFID-tekniikassa tiedonsiirtoon käytetty radioaallon komponentti vaihtelee taajuusalueittain. Radioaallon magneettikentän välityksellä tapahtuvaa tiedonsiirtoa käytetään yleisesti LF- ja HF-taajuusalueilla. Magneettikentän välityksellä tapahtuvasta kytketymisestä

käytetään nimitystä induktiivinen kytkentä ja se tunnetaan myös ns. lähikenttä-tekniikkana. Radioaallon magneettikentän avulla lukijan kanssa kommunikoiva tunniste sisältää esimerkiksi metallisilmukoita tai käämityn kelan, johon tiedonsiirtoon käytettävä energia magneettikentästä kytkeytyy. UHF- ja mikroaaltoalueilla tietoa siirretään yleisesti radioaallon sähkökentän avulla. Tällöin tunnisteiden tiedonsiirtoon käytettävä energia kytkeytyy tunnisteiden dipoliantenniin. UHF-alueelle on kehitetty myös ns. lähikenttä-tekniikkaa hyväksi käytettävä tunnistustekniikka. (3.)

Standardit ovat olennainen osa RFID-teknologiaa. Erityisesti logistiikassa standardit näyttelevät suurta osaa, kun eri toimitusketjun jäsenten täytyy pystyä lukemaan samoja tunnisteita. Kansainväliset standardit tarjoavat lisäksi valmistajariippumattomuuden, jolloin yritys ei ole sidoksissa mihinkään tiettyyn lukijoiden ja tunnisteiden valmistajaan. Kansainvälinen standardointijärjestö ISO on julkaissut jokaiselle RFID-taajuusalueelle omat tiedonsiirtostandardinsa. ISO:n standardien lisäksi elektronisen tuotekoodin käyttöönottoa ajava yritys EPCglobal Inc. on julkaissut vapaan tiedonsiirtostandardin passiivisille UHF-alueen RFID-tunnisteille. (4.)

LF-taajuusalueella RFID-tekniikan hyödyntämät taajuudet keskittyvät 135 kHz:iä pienemmille taajuuksille. ISO-standardi ISO/IEC 18000-2 määrittelee tiedonsiirto-protokollan 135 kHz:iä pienempiä taajuuksia käyttäville tunnisteille. LF-taajuusalueen tunnisteiden yhtenä sovelluskohteena on eläimiin liitettävä tunniste, jota koskien ISO on julkaissut standardit ISO 11784/11785:n ja ISO 14223:n. LF-alueella käytetään myös eri kulunvalvontajärjestelmissä, joissa yleinen käytetty taajuus on 125 kHz. (4; 5.)

HF-alueella käytetään ISM-taajuusalueelle kuuluvaa 13,56 MHz:iä, joka on vakiintunut yleisesti käytetyksi taajuudeksi. ISO-standardi ISO/IEC 18000-3 on yleinen tiedonsiirtostandardi 13,56 MHz:n taajuudella toimiville RFID-järjestelmille. Taajuutta 13,56 MHz käytetään lisäksi erilaisiin langattomiin älykortteihin, joiden oleelliset standardit ovat ISO/IEC 14443 ja ISO/IEC 15693. Erilaisissa maksusovelluksissa käytettävä MIFARE-tekniikka pohjautuu juuri ISO/IEC 14443-standardiin. (4; 5.)

UHF-alueella käytetyt taajuudet ovat 433 MHz ja 860 - 960 MHz:n välinen taajuusalue. Taajuutta 433 MHz käytetään lähinnä oman virtalähteen sisältävissä aktiivisissa RFID-tunnisteissa, joiden tiedonsiirtoon liittyvät ominaisuudet määritetään ISO/IEC 18000-7-standardissa. Taajuusalueella 860 - 960 MHz käytetään yleisesti passiivisissa tunnisteissa, joiden tiedonsiirron määrittelevät standardit ISO/IEC 18000-6 ja EPC-

global Class-1 Gen 2. EPCglobal Class-1 Gen 2 -standardi on vapaassa levityksessä oleva standardi ja on yhteensopiva standardin ISO/IEC 18000-6C kanssa. (4; 5.)

Mikroaaltoalueen käytetyin taajuus on ISM-taajuuksiin kuuluva 2,45 GHz:n taajuus. Kyseisellä taajuudella käytetään sekä passiivisia että aktiivisia tunnisteita, joiden molemmissa toimintaparametrit määrittelee standardi ISO/IEC 18000-4. (1; 5.)

3 EPCGLOBAL CLASS-1 GEN 2 -STANDARDI

Viralliselta nimeltään EPCglobal Class 1 Generation 2 UHF Air Interface Protocol Standard on 860 - 960 MHz:n väliselle taajuusalueelle kehitetyn RFID-järjestelmän standardi. Standardin määrittelemä järjestelmä käyttää passiivisia tunnisteita, joiden tunnistusmekanismi perustuu radioaaltojen heijastumiseen. Standardi perustuu tutkimusohjelma MIT Auto-ID Centerin kehittämään EPC-teknologiaan. Yritysten GS1 ja GS1 US muodostama yhteisyritys EPCglobal sai marraskuussa 2003 hallintaansa EPC-teknologian sillä ehdolla, että se olisi kaikille ilmaiseksi saatavilla. Samalla MIT Auto-ID Centerin EPC-teknologiaan liittyvä tutkimustyö jaettiin maailmanlaajuisesti eri Auto-ID laboratorioihin, jotka toimivat yhteistyössä EPCglobalin kanssa. Auto-ID keskuksen valmiiksi kehittämien tunnisteluokkien EPC Class-0 ja Class-1 tiedonsiirtoprotokollat eivät olleet keskenään yhteensopivia ja ne eivät soveltuneet kansainvälisiin radiotaajuussääntöihin. Tästä johtuen EPCglobal alkoi vuonna 2004 kehittämään toisen sukupolven tunnistestandardia, joka korjaisi aiemmissä tunnisteluokissa havaitut ongelmat. Kehitystyönä syntynyt toisen sukupolven tunnistestandardi Class-1 Generation-2 -protokolla hyväksyttiin joulukuussa 2004 ja standardin versio 1.1.0 on yhteensopiva standardin ISO/IEC 18000-6C kanssa. Standardi tunnetaan yleisesti nimellä EPCglobal Class-1 Gen 2. (2; 6.)

EPCglobal Class 1 Gen2 -standardin määrittelemän järjestelmän rakentuessa passiivisille RFID-tunnisteille tiedonsiirtoon käytetään ITF-menetelmää, jolloin lukija aloittaa kommunikoinnin. Standardi määrittää lukijan lähettämään tietoa tunnisteele 860 - 960 MHz:n väliseltä alueelta. Tästä tunnisteen läheteestä passiivinen tunniste saa paitsi informaation myös käyttöjännitteensä. Tieto tunnistesta saadaan lähettämällä lukijalta kantoaaltoa, josta tunniste heijastaa osan takaisin lukijalle. Tunniste heijastaa lukijan kantoaaltoa koodatun tiedon mukaisesti, yhteydelle määrätyn nopeuden ns. linkkitajuuden tahdissa. (6.)

3.1 Standardin ominaisuudet

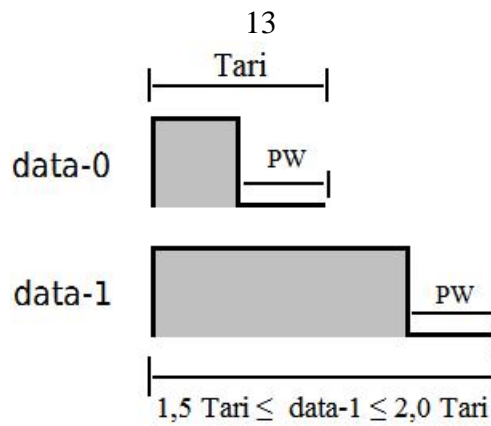
EPCglobal Class-1 Gen 2 -standardi määrittelee standardia tukevien UHF-alueen RFID-lukijoiden ja -tunnisteiden väliseen tiedonsiirtoon käytettävän yhteyskäytännön eli protokollan. Standardi määrittelee sekä fyysiset että loogiset ominaisuudet. Oleellimmat määritellyt ominaisuudet ovat käytettävä taajuusalue, lukijan ja tunnisteen käyttämät modulointi- ja datan koodausmenetelmät, lähetettävän ja vastaanotetun tiedon tiedonsiirtonopeudet, tunnisteen muistin ja käytettävien komentojen rakenne, siirretyn datan virheenhavaitseminen ja tiedon törmäyksenestomenetelmä. (6.)

Standardi määrittelee käytettäväksi toimintataajuusalueeksi 860 - 960 MHz, jonka rajoissa standardia tukevien lukijoiden ja tunnisteen täytyy kyetä toimimaan keskenään. RFID-lukijan toimintataajuuden valintaan vaikuttaa olennaisesti maakohtaiset radiotaajuuksia koskevat määräykset. Suomessa UHF-alueen RFID-käyttöön varatut taajuudet ja niille sallitut tehotasot on määrätty Viestintäviraston luvasta vapaiden radiolähettimien yhteistaajuuksista ja käytöstä koskevassa määräyksessä Viestintävirasto 15 Z/2009 M.

Standardin järjestelmä käyttää tiedonsiirtoon half duplex-menetelmää, jolloin tunniste saa käyttöjännitteestä lukijan kentästä koko viestinnän ajan, mutta tietoa siirretään vain yhteen suuntaan kerrallaan. Tiedonsiirrossa lukijan ja tunnisteen välillä lähetys aloitetaan lähetettävän binaariluvun eniten merkitsevistä bitistä. (6.)

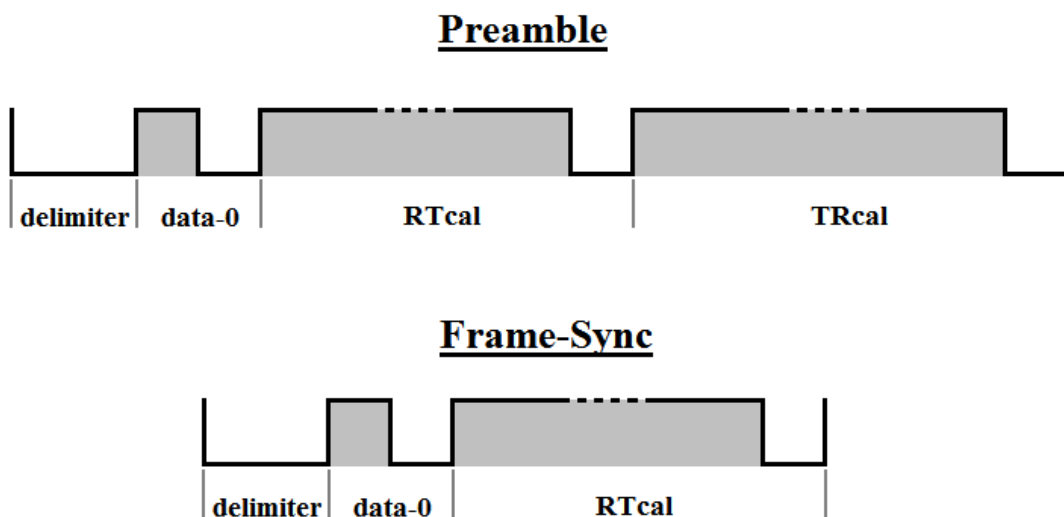
Koodaukset

Lukijan lähettämän binaarisen tiedon koodaukseen käytetään PIE-koodausta. PIE-koodauksessa binaarisen tiedon 0 ja 1 kuvataan eri pituisilla pulsseilla. Tällöin kuvatut symbolit ovat eri mittaisen ajan ylätilassa, mutta vakioajan alatilassa. PIE-koodauksen symbolit on esitetty kuvassa 1. Standardin mukaisessa koodauksessa käytetään vertailuajaväliä, jota merkitään Tari-termillä. Tari-termi tulee ISON standardista ISO/IEC 18000-6 part A, jossa Tari on lyhennys sanoista Type A Reference Interval. Tari määrittelee ensisijaisesti 0-bitin kuvaukseen käytettävän data-0-symbolin ajan. Muut symboliajat määritetään suhteessa Tariin. Lukijan käyttämä Tari-arvo tulee olla väliltä 6,25...25 μ s. (6.)



Kuva 1. PIE-koodaus. Tari-merkintä kuvaa data-0-symbolin ajan ja asettaa rajat data-1-symbolille. Kuvan merkintä PW kuvaa alatilassa olevaa signaalia, jonka kestoaika on sama kaikilla PIE-koodatuilla symboleilla. (6.)

Lukijalta tunnisteelle lähetettäviin komentoihin tulee liittää alkutahdistus, jolla määrätään yhteyden tiedonsiirron ominaisuudet. Tahdistuksilla kerrotaan lukijan käyttämät tietosymboliajat data-0 ja data-1 sekä määrätään yhteydessä käytettävä linkkitaajuus. Alkutahdistuksia on kaksi eri tyyppiä: Preamble- ja Frame-Sync-tahdistus. Tahdistuksen käyttö riippuu lähetettävästä komennosta. Preamble-tahdistusta käytetään edeltämään Query-komentoa, jolla tunnistus aloitetaan. Muita komentoja tulee edeltää Frame-Sync-tahdistus. Tahdistusjaksot on esitetty kuvassa 2. (6.)



Kuva 2. Lukijan tahdistusjaksot. Kuvassa lukijan lähettämiin komentoihin liitettävät alkutahdistukset, joista Query-komentoon liitetään Preamble-tahdistus ja muihin komentoihin Frame-Sync-tahdistus. (6.)

Preamble koostuu peräkkäisessä järjestyksessä seuraavista neljästä eri osasta: delimiter, data-0, RTcal ja TRcal. Delimiter-osassa signaali on $12,5 \mu\text{s}$ vakioajan alatilassa, josta tunniste osaa varautua lähetetyn tiedon vastaanottoon. Data-0-osa on 0-bitin ku-

vaukseen käytettävä jakso, jonka aika on käytetty Tari. RTcal on lukijalta tunnisteelle lähetettävän tiedon kalibrointisymboli, jonka aika on data-0 ja data-1 symbolien yhteenlaskettu aika. RTcal-symbolista tunniste laskee keskiarvoajan, jonka perusteella tunniste tulkitsee keskiarvoaikaa lyhyemmät symbolit 0-biteiksi ja pidemmät symbolit 1-biteiksi. TRcal on tunnisteelta lukijalle heijastettavan tiedon kalibrointisymboli, jota käytetään tunnisteelta takaisinheijastuvan tiedon linkkitaajuuden määrittämiseen. Tunnisteelta takaisinheijastettavan tiedon taajuus määrittyy paitsi TRcal-symbolin ajasta, myös valitusta jakosuhteesta DR, joka lähetetään tunnisteelle Query-komennolla. Jakosuhte voi olla joko 8 tai 64/3. TRcal-symbolin kestoajalle määrittyy ehto $1.1 \cdot RTcal \leq TRcal \leq 3 \cdot RTcal$. Linkkitaajuus määrittyy Kaavasta 1. Linkkitaajuus voi vaihdella 40 kHz...640 kHz:iin. (6.)

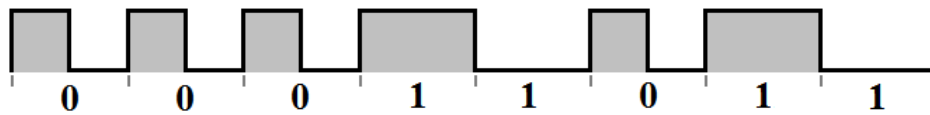
$$BLF = \frac{DR}{TRcal} \quad (1)$$

Kaava 1 määrittää käytettävän linkkitaajuuden. Kaavassa BLF tarkoittaa linkkitaajuutta Hertzeinä ja TRcal on Preamble-tahdistuksessa lähetettävän samannimisen symbolin aika sekunteina. DR on käytettävä jakosuhte (8 tai 64/3).

Frame-Sync-tahdistus on lyhennetty Preamble-tahdistus, jolloin se sisältää Preamble-tahdistuksen osat delimiter, data-0 ja RTcal, mutta ei TRcal-symbolia. Lukijan tulee käyttää samaa RTcal arvoa Frame-Sync-tahdistuksessa kuin Preamble-tahdistuksessa. (6.)

Standardin määrittämässä tunnisteessa tiedon koodaukseen voidaan käyttää joko FM0-koodausta tai Miller-modulated subcarrier-koodausta. Koodaustapa valitaan lukijan Query-komennossa lähetettävän M-parametrin mukaisesti. Sama parametri määrittää myös käytettävän datanopeuden. (6.)

FM0-koodauksessa signaalin tila vaihtuu alatilasta ylätilaan tai päinvastoin joka symbolilla. Koodauksessa 0-bitin kuvaukseen käytettävä symboli vaihtaa lisäksi tilaansa linkkitaajuuden jakson puolivälissä, kun taas 1-bitin kuvaava symboli pysyy samassa tilassa jakson ajan. Signaalin tila vaihtuu siis paitsi 0-bitti-symbolin keskellä niin myös joka symbolin välissä. FM0-koodauksen esimerkkikoodaus on esitetty kuvassa 3. (6.)



Kuva 3. FM0-koodaus esimerkki. Kuvassa esitetty esimerkki 8-bitin FM0-koodauksesta. (6.)

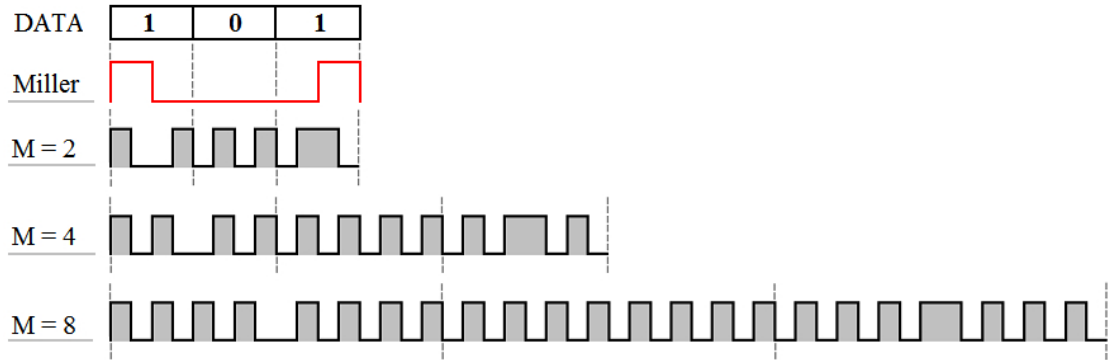
FM0-koodatun tiedon lähetys aloitetaan voidaan aloittaa kahdella eri FM0 Preamble-alkutahdistuksella. Käytävissä on joko normaali tai pidennetty alkutahdistus, joka määräytyy lukijan lähettämän Query-komennon TRext-parametrin mukaan. Normaali FM0 preamble-tahdistus esitetty kuvassa 4. Tunnisteen muistiin kirjoitettaessa tunniste lähettää TRext-parametrin arvosta huolimatta pidennetyn alkutahdistuksen, jolloin tahdistuksen alkuun lisätään 12 linkkitaajuuden jaksoa. FM0-koodattu tiedon loppuun liitetään ylimääräinen 1-bitin symboli ns. dummy-päättebitti merkiksi lähetettävän tiedon loppumisesta. (6.)

FM0 Preamble



Kuva 4. FM0 Preamble-tahdistus. Signaalintijakso jonka tunniste lisää jokaisen lähetteensä alkuun. (6.)

Miller-modulated subcarrier-koodauksessa symbolin tila vaihtuu 1-bitin kuvaavan symbolin puolivälissä mikä on päinvastoin kuin FM0-koodauksessa. Miller-koodauksessa tila vaihtuu samojen peräkkäisten bittien välillä, mutta ei peräkkäisten 0 ja 1 bittien välillä. Lopullinen Miller-koodaus tehdään käyttämällä joko 2, 4 tai 8 linkkitaajuuden jaksoa kantataajuuden Miller-koodauksen kuvaamiseen. Koodauksessa käytettävä jaksomäärä valitaan lukijan Query-komennon M-parametrilla. Kuvassa 5 on kuvattu esimerkkitiedon Miller-koodaus. Miller-koodattu lähete alkaa Miller-preamble-alkutahdistuksella, joka on valittavissa Query-komennon TRext-parametrilla joko normaalina tai pidennettynä versiona. Miller-koodattu lähete tulee päättyä FM0-koodauksen tavoin 1-bitin symbolia vastaavaan päättebittiin. (6.)



Kuva 5. Miller-koodaus esimerkki. Kuvassa on 3-bittisen datan esimerkkikoodaus Miller-modulated subcarrier-koodauksella. Koodaustulos riippuu valitusta M -parametrilla. (6.)

Modulointi

Lukijan koodatulla datalla tehtävä kanta-aallon modulointi voidaan tehdä kolmella eri menetelmällä. Lukijan on mahdollista käyttää joko DSB-ASK-, SSB-ASK- tai PR-ASK-modulointimenetelmää. Tunnisteen tulee kyetä demoduloimaan lukijan lähetettä kaikilla kolmella modulointimenetelmällä. Tunniste voi käyttää heijastettavan kanta-aallon modulointiin ASK-tai PSK-modulointimenetelmää. Lukijan täytyy vastaavasti kyetä demoduloimaan vastaanotettavaa lähetettä kyseisillä menetelmillä. (6.)

Virheentarkistus

Lukijan ja tunnisteen välisen tiedonsiirron siirtovirheen havaitsemiseen käytetään kennon yksilöllistä pituutta ja CRC-tarkistusmenetelmää. CRC-tarkistusmenetelmässä lähetettävään dataan lisätään tarkisteeksi jakojäännös, joka saadaan jakamalla data jakajapolynomilla. Binaariselle datalle jakojäännös saadaan lisäämällä datan loppuun käytetyn CRC-tarkisteen mukainen määrä nollia ja jakamalla se käytetyllä CRC-polynomilla. Jakaminen tapahtuu suorittamalla bittien välillä looginen XOR-operaatio. Liite 1 havainnollistaa CRC-tarkistuksen laskentaa. Vastaanotossa jakojäännöksen sisältämä data jaetaan samalla sovitulla jakajalla kuin lähetyksessä. Virheettömän datan jako tulee vastaanotossa mennä tasan, jolloin jakojäännös on nolla. Käytetyt CRC-tarkistusmenetelmät ovat usein muunnelmia tästä suoraviivaisesta menetelmästä. Tällöin laskennassa voidaan lisäksi käyttää alkuarvoa ja bittiopearaatiota. Alkuarvo on ns. esijakaja, jolla tehdään ensimmäinen XOR-operaatio ennen varsinaista jakajapolynomia. CRC-tarkistuksen bittiopearaatio on yleensä laskennan loppuksi jakojäännökselle tehtävä invertointi. Standardissa lukijan ja tunnisteen välisessä tiedonsiirrossa käytetään CRC-16- ja CRC-5-tarkistusta, jonka laskenta on esitetty liitteessä 1. CRC-16-laskennassa käytetään CRC-16-CITT-jakajaa, joka on on polynomimuodossa $x^{16} + x^{12} + x^5 + 1$ ja binaarisena 1 0001 0000 0010 0001. Alkuarvona

käytetään lukua $FFFF_h$ ja laskennan lopuksi tehdään jakojäännöksen invertointi, josta saadaan lähetteeseen lisättävä CRC-16-tarkiste. Standardissa käytetyn CRC-5-tarkistuksen jakaja on polynomina $x^5 + x^3 + 1$ ja binaarisena 101001. CRC-5-laskennassa käytetään alkuarvona binaarilukua 01001. Standardissa esitetään piirikytkenät CRC-16- ja CRC-5-tarkisteiden laskentaan. (6; 7; 8.)

Törmäyksen hallinta

Usean tunnisteiden samanaikaisesta lähetteestä syntyy törmäys, jolloin lukijan on vaikea erottaa yksittäistä tunnisteiden lähetettä. Standardissa törmäyksenesto toteutetaan todennäköisyyteen perustuvalla menetelmällä. Menetelmän toteuttamiseksi tunnisteissa käytetään alaspäin laskevaa 15-bittinen lähetysvuorolaskuria ja satunnaislukugeneraattoria. Laskurille arvotaan lukijan käskystä alkuarvo, jota laskuri vähentää sitä käskettäessä. Kun laskuri saa arvon 0, tunniste saa lähetysvuoron. Tunnisteiden törmäysten estämiseksi käytetään lukijan Query-komennolla lähettämää Q-parametria, jolla saadaan tunnisteiden laskurille alkuarvo väliltä 0...32767. Q-parametri mahdollistaa lukijalla tehtävien tunnisteiden vastaustodennäköisyyden säätelyn. Parametrin arvon mukaan tunnisteiden vastauksen todennäköisyys vaihtelee välillä 0,000031...1. (6.)

Tunnisteiden muisti

Tunnisteiden muisti jaetaan neljään eri muistialueeseen, joiden sisältämät muistipaikat ovat 16-bitin pituisia. Muistialueet on nimetty seuraavasti:

- *Reserved*
- *EPC*
- *TID*
- *User*

Reserved-muistialue on vapaavalintainen ja voi sisältää 32-bitin pituiset Kill- ja Access-salasanat. Kill-salasanaa käytetään tunnisteiden toiminnan lakkauttamiseen ja Access-salasanaa siirryttäessä tunnisteiden turvattuun Secured-tilaan. Tunnisteiden, jotka eivät toteuta kyseisiä salasanajoja, tulee toimia kuten salasanat olisivat arvoltaan nollija ja pysyvästi lukittuina. Tällöin tunnisteiden ei tarvitse fyysisesti toteuttaa Reserved-muistialuetta. (6.)

EPC-muistialue on pakollinen ja sen tulee sisältää EPC-koodi, joka on tunnistuskoodi tunnisteiden sisältävälle tuotteelle. Erilaiset EPC-koodirakenteet määrittellään EPCglobal Tag Data Standards-spesifikaatioissa. Tunnistekoodi lisäksi EPC-muistialue sisäl-

tää 16 PC-bittiä ja 16-bittisen CRC-16-tarkistusluvun joka lasketaan PC-bittien ja koodin tarkisteeksi. PC-bitit sisältävät tiedon lähettävästä datamäärästä. Ensimmäiset 5 PC-bittiä määrittelevät lähetettävän PC-bittien ja EPC-koodin yhteispituuden, mahdollistaen 32:n muistipaikan osoituksen, jolloin EPC-muistin koko voi maksimissaan olla 512 bittiä. (6.)

TID-muistialue on pakollinen muistialue, joka sisältää tunnisteiden valmistukseen liittyvää tietoa. Muistialue voi sisältää mm. valmistajatunnisteiden ja tunnisteiden sarjanumeron. User-muistialue on valinnainen muistialue, joka sallii käyttäjäkohtaisen tiedon tallennuksen. (6.)

Tunnisteiden tilat

Tunniste toimii tilakoneen tavoin, jolloin tunnisteiden toiminta määräytyy paitsi vastaanotetusta komennosta myös tunnisteiden aiemmasta tilasta. Standardi määrittelee tunnisteelle seuraavat 7 eri tilaa: *Ready*, *Arbitrate*, *Reply*, *Acknowledged*, *Open*, *Secured* ja *Killed*. (6.)

Tunnistekoodin EPC-koodin lukuprosessissa kierretään järjestyksessä tilat *Ready*, *Reply* ja *Acknowledged*, josta palataan takaisin *Ready*-tilaan. Mahdolliset siirtymiset tilasta toiseen on standardissa kuvattu tilakohtaisilla siirtymä-tilakoodilla. *Ready*-tila on nimensä mukaisesti alkutila, johon tunnisteiden tulee siirtyä saadessaan käyttöjännitteen lukijan kantoaallostaa. (6.)

Arbitrate-tila on eräänlainen odotustila, johon tunnistuskierroksen osallistuva tunniste siirtyy *Ready*-tilasta arpoessaan lähetysvuorolaskurin alkuarvoksi nollaa suuremman luvun. Tunniste pysyy *Arbitrate*-tilassa niin kauan kun lähetysvuorolaskurin arvo on suurempi kuin nolla. (6.)

Reply-tila on ensimmäinen tunnisteiden vastaustila, johon tunniste siirtyy *Arbitrate*-tilasta tai suoraan *Ready*-tilasta saadessaan lähetysvuorolaskurin arvoksi nolla. Tällöin tunniste lähettää 16-bittinen satunnaisluvun. (6.)

Acknowledged-tila on tunnistekoodin lukemisen päätetila, johon tunniste siirtyy *Reply*-tilasta saatuaan lukijalta oikeanmuotoisen ACK-komennon, joka sisältää tunnisteiden aiemmin *Reply*-tilasta lähettämän 16-bittisen satunnaisluvun. *Acknowledged* tilaan siirtyessä tunniste lähettää tunnistuskoodiosat: PC + EPC + CRC-16. (6.)

Open-tila on tila johon tunniste voi siirtyä Acknowledged-tilasta. Open-tilassa tunniste voi suorittaa Lock-komentoa lukuunottamatta kaikki muut lukijan lähettämät access-komennot. (6.)

Secured-tila on Open-tilaa muistuttava, mutta ominaisuuksiltaan laajempi mahdollistaen kaikkien access-komentojen toteutuksen. Secured-tilaan siirrytään tunnisteiden ominaisuuksien perusteella kahta eri tietä. Tunniste, jonka access-salasana on nolla, siirtyy Acknowledge-tilasta Secured-tilaan saatuaan Req_RN-komennon lukijalta. Tunniste, jonka access-salasana on erisuuri kuin nolla, siirtyy Open-tilasta Secured-tilaan saatuaan oikeanmuotoisen Access-komentosarjan. (6.)

Killed-tilaan tunniste voi siirtyä joko Open- tai Secured-tilasta saatuaan oikeanmuotoisen Kill-komentosarjan. Killed-tilaan siirryttyään tunniste ei enää toteuta mitään lukijan lähettämiä komentoja. Killed-tila on pysyvä, jolloin Killed-tilaan menneen tunnisteeseen tulee myöhemminkin käyttöjännitteen saatuaan siirtyä suoraan Killed-tilaan. Mikäli tunnisteeseen Kill-salasana on nolla Killed-tilaa ei suoriteta, vaan tunniste lähettää Kill-komentosarjan saatuaan lukijalle virhesanoman. (6.)

Tunnistusvalinnat

Standardi tarjoaa tunnisteiden lukemiseen tunnistusvalintoja. Tunnisteeseen tulee toteuttaa 4 eri istuntotilaa S0, S1, S2 ja S3. Jokainen istuntotila voi olla kahdessa eri tilassa, joka ilmoitetaan ns. istunnon tunnustuslipulla. Tunnustuslipun tilaa merkitään arvoilla A ja B. Tunnisteeseen tunnustekoodin luku voidaan suorittaa vain yhdessä istuntotilassa kerrallaan, jolloin valitun istuntotilan tunnustuslippu-arvo täytyy olla lukijan valinnan mukainen. Istuntotilojen ja niiden tunnustuslippujen lisäksi tunnisteeseen tulee toteuttaa erillinen SL-valintalippu, jota voidaan käyttää tunnustuskierrokseen osallistuvien tunnisteiden valintaan. Valintalippu voidaan asettaa päälle tai pois. (6.)

Komennot

Standardissa määritellään tunnisteeseen toteutettavaksi kaikkiaan 14 eri komentoa, joista 11 on pakollista. Komennot jaetaan tehtävän mukaisesti kolmeen eri ryhmään:

- *Select*
- *Inventory*
- *Access.*

Select-ryhmä tehtävänä on nimensä mukaan tehdä tunnisteeseen muutoksia, jotka vaikuttavat valintaan tunnistuskierrokselle. Ryhmä sisältää ainoastaan Select-komennon. Select-komennolla on kaksi pääasiallista tehtävää. Sillä voi joko vaihtaa tunnisteiden istuntoiljojen tunnistuslippu-arvoa tai asettaa tunnisteiden SL-valintalippu päälle tai pois. Yhdellä Select-komennolla voidaan tehdä vain toinen kuvatuista toiminnoista. (6.)

Inventory-ryhmän komennot koskevat ns. tunnistuskierrosta, jossa luetaan tunnisteiden tunnisteet. Inventory-komennot ovat Query, QueryRep, QueryAdjust, ACK ja NAK. Query-komento on standardin oleellisin komento, jolla aloitetaan tunnisteiden kysely. Komennolla lähetetyistä parametreista määräytyy tunnisteiden linkkitajuus, datan koodaus, datanopeus, tunnisteiden lähettämä alkutahdistus ja tunnisteiden vastauksen todennäköisyys. Lisäksi voidaan rajata tunnistettavien tunnisteiden määrää valintakriteerien avulla. (6.)

QueryRep-komento vähentää tunnisteiden arpomaa vastausvuoronumeroa yhdellä. Tunnisteiden lähetysvuoronumeron saadessa arvon nolla tunniste vastaa lukijalle 16-bittisellä satunnaisluvulla. QueryAdjust-komennolla muutetaan tunnisteiden vastaus-todennäköisyyttä muuttamalla Query-komennolla lähetettyä Q-parametria. (6.)

ACK-komento on kuittauskomento, jonka lukija lähettää tunnisteelle saatuaan tunnisteelta vastauksena 16-bittisen satunnaisluvun. Komennossa lukija lähettää kuittauksena saamansa satunnaisluvun takaisin tunnisteelle. Komennon sisällön ollessa oikea, tunniste vastaa lukijalle lähettämällä tunnistuskoodiosat: PC + EPC + CRC-16. (6.)

NAK-komento aiheuttaa tunnisteiden siirtymisen arbitrate-tilaan, muuttamatta tunnistuslippujaan. Tunnisteiden tulee toteuttaa NAK-komento kaikista muista tiloista paitsi ready ja killed. (6.)

Access-ryhmän komennot liittyvät tunnisteiden kokonaisvaltaiseen hallintaan. Ryhmän komennot mahdollistavat tunnisteiden tiedon lukemisen, kirjoittamisen ja lukitsemisen sekä tunnisteiden toiminnan lakkauttamisen. Access-ryhmän pakolliset toteutettavat komennot ovat: Req_RN, Read, Write, Lock ja Kill. Tunniste voi valmistajavalinnaisesti toteuttaa myös access-komennot: Access, BlockWrite ja BlockErase. (6.)

Req_RN-komennolla tunniste määrätään lähettämään lukijalle uusi 16-bittinen satunnaisluku, jota käytetään access-komentojen parametrina. Read-komento mahdollistaa

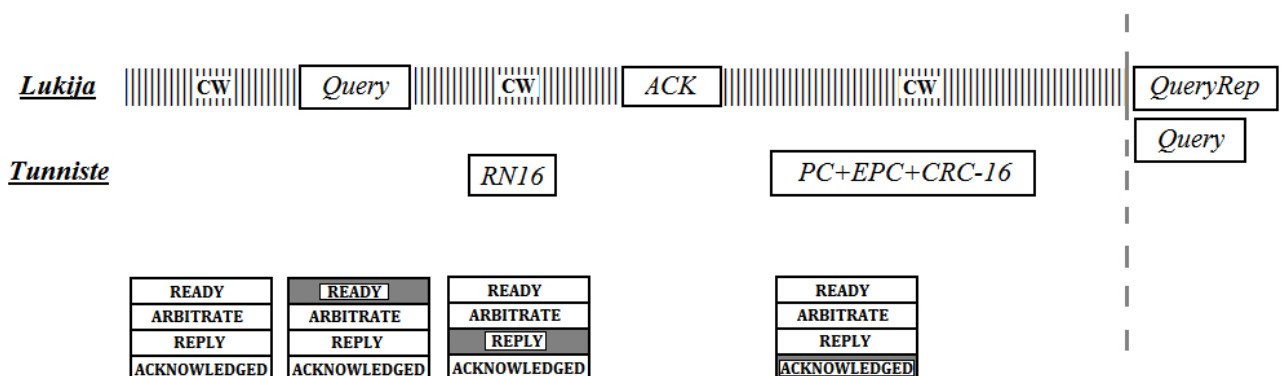
määrätyn tietomäärän lukemisen valitusta tunnisteesta. Write-komento mahdollistaa tiedon tallentamisen haluttuun muistialueeseen. Write-komennolla voidaan tallentaa tietoa 16-bittiä kerrallaan. (6.)

Lock-komento mahdollistaa tunnisteesta sisältävän tiedon lukituksen. Komennolla voidaan estää tai sallia mahdollisten salasanojen lukeminen/tallennus. Komennolla tehtävä lukitus voi olla joko muutettavissa tai pysyvä. Kill-komentoa käytetään moniosaisessa Kill-operaatiossa, joka lakkauttaa tunnisteesta toiminnan pysyvästi. (6.)

Valmistavalinnaista Access-komentoa käytetään access-proseduurissa siirryttäessä tunnisteesta Open-tilasta Secured-tilaan. BlockWrite-komento mahdollistaa yli 16 bitin tallennuksen tunnisteelle yhdellä komennolla. BlockErase-komennolla voidaan tunnisteesta muistista poistaa tietoa yli 16 bittiä kerralla. (6.)

3.2 Tunnistekoodin lukuproseduuri

Tunnisteesta sisältävän tunnistekoodin eli EPC-koodin lukeminen tapahtuu kyselykomennolla, jotka lähetetään PIE-koodattuna, lähetysmodulaation ollessa DSB-ASK, SSB-ASK tai PR-ASK. Tiedon vastaanotto tunnisteesta tapahtuu lähettämällä komennon jälkeen kantaaltaa vastaanottaen samalla tunnisteesta takaisinheijastuksen sisältämää tietoa. Tunniste heijastama lähte on joko ASK-tai PSK-moduloitua. Lukija määrittää vastaanotettavan tiedon koodauksen, joksi voidaan valita joko FM0- tai Miller-koodaus. Seuraavaksi on selostettu suoraviivainen tunnisteesta EPC-koodin lukuproseduuri, joka on esitetty kuvassa 6. (6.)



Kuva 6. Tunnistekoodin lukuproseduuri. Kuvassa esitetään lukijan ja tunnisteesta lähetteet, sekä tunnisteesta tilat lähetteiden aikana. Merkintä RN16 kuvaa tunnisteesta lähetettävää satunnaislukua ja merkintä CW lukijan lähettämää kantaaltaa.(6.)

Proseduuri käynnistyy lukijan lähettäessä kantoaaltoa vähintään 1,5 ms:n ajan. Tunniste muodostaa tässä ajassa itselleen käyttöjännitteen ja siirtyy Ready-tilaan. Seuraavaksi lukija lähettää tunnisteelle Query-komennon, joka määrää tunnisteiden lähetysvuorollaan lähettämään 16-bittisen satunnaisluvun. Lähetettyään Query-komennon lukija lähettää kantoaaltoa odottaen vastausta tunnisteelta. Tunniste lähettää lukijalle vastausvuorollaan 16-bittisen satunnaisluvun ja siirtyy Reply-tilaan. Mikäli tunniste ei heti saa vastausvuoroa, se jää Arbitrate-tilaan odottamaan QueryRep-komentoa vastausvuoron saamiseksi. Vastaanotettuaan tunnisteiden 16-bittisen satunnaisluvun lukija lähettää tunnisteelle kiittauksena ACK-komennon, joka sisältää tunnisteiden lähettämän satunnaisluvun. Komennon lähetettyään lukija lähettää jälleen kantoaaltoa ja odottaa tunnisteiden vastausta. Tunnisteiden vastaanottaessa oikeanmuotoisen ACK-komennon se siirtyy Acknowledged-tilaan ja lähettää lukijalle tunnistuskooditiedot sisältäen PC-bitit, EPC-koodin ja CRC-16-virheentarkistusbitit. Tunnistekoodin noudon jälkeen voidaan luku uusina Query-komennolla tai lähettää QueryRep-komento, jolloin luettu tunniste siirtyy Ready-tilaan, aiheuttaen samalla mahdollisen toisen tunnisteiden satunnaisluvun lähetyksen lukijalle. (6.)

4 TOTEUTUSLAITTEISTO

RFID-lukijan alustavan ohjauksen toteutus päädyttiin tekemään ohjelmoitavilla 8-bittisillä mikro-ohjaimilla. Käytetyiksi mikro-ohjaimiksi valikoituivat puolijohdevalmistaja Atmelin valmistamat ATtiny2313 ja ATmega32. Kyseisten mikro-ohjaimien ohjelmointiin ja kytkentöjen tekemiseen käytettiin Atmelin valmistamille mikro-ohjaimille tarkoitettuja EXB2313- ja PROJ32/644-ohjelmointi-/testausalustoja. Toteutetun ohjauksen mittauksiin käytettiin PicoScope 2205-PC-oskilloskooppia, jonka ohjaus ja mittaukset tehtiin PC-tietokoneen sovellusohjelmalla.

4.1 Mikro-ohjain

Mikro-ohjain (*engl. microcontroller*) on pienoiskoossa oleva mikrotietokone. Mikro-ohjain on keskeinen komponentti erilaisissa ns. sulautetuissa sovelluksissa, laitteissa joissa mikrotietokone on osana muuta elektroniikkajärjestelmää. Mikro-ohjain sisältää mikroprosessorin, muistit, liitäntäpiirit sekä muita oheispiirejä yhdistettynä samaan koteloon. (9.)

Mikro-ohjaimen muisti jakautuu käytön kannalta kolmeen muistityyppiin: ohjelma-muistiin (*engl. program memory*), käyttömuistiin (*engl. data memory*) ja haihtumat-

tomaan käyttömuistiin (*engl. non-volatile data memory*). Ohjelmamuisti on haihtumaton muistia, jolloin muistin sisältö säilyy ohjelmoinnin jälkeen muuttumattomana ilman käyttöjännitettä. Ohjelmamuistiin on nimensä mukaan tallennettu mikro-ohjaimen ohjelma, eli suoritettavat käskyt. Ohjelmamuistina käytetään yleisesti Flash-muistia, joka voidaan ohjelmoida useita kertoja uudelleen. (9.)

Käyttömuistia käytetään ohjelman suorituksessa tarvittavien muuttujien arvojen tallentamiseen. Käyttömuisti on ns. haihtuvaa muistia, jolloin sen sisältämä tieto häviää käyttöjännitteen katketessa. Yleisesti mikro-ohjaimissa on käyttömuistina SRAM-tyyppistä muistia. Ohjelmamuisti ja käyttömuisti ovat mikro-ohjaimen toiminnan kannalta välttämättömiä. Mikro-ohjain sisältää kuitenkin usein myös haihtumatonta käyttömuistia. Haihtumatonta käyttömuistia tarvitaan, kun halutaan käyttöjännitteen katkettuakin säilyttää joitakin aseteltuja tietoja tai tiedonkäsittelyssä syntyneitä tuloksia. Haihtumattoman käyttömuistia ei voida käyttää SRAM-muistin tavoin nopeaan väliaikaiseen tallentamiseen, koska tiedon kirjoitus muistiin saattaa kestää jopa 100 kertaa kauemmin kuin tiedon lukeminen. Haihtumaton käyttömuisti on mikro-ohjaimissa tyypillisesti EEPROM-muistia. (9.)

Mikro-ohjaimen sisältämä mikroprosessori suorittaa kaikki piirin tiedonkäsittelyt ja hoitaa tiedonsiirron muistin ja muiden oheispiirien välillä. Mikroprosessori sisältää ohjausyksikön, aritmeettis-loogisen yksikön sekä sisäiset rekisterit, jotka ovat keskenään yhteydessä prosessorin sisäisellä tietoväylällä. Ohjausyksikössä suoritetaan ohjelmamuistin sisältämien käskyjen käsittely ja tuotetaan ohjaussignaalit prosessorin muille lohkoille ja ulkoisille väylille. Mikro-ohjaimen tiedon käsittelyn suorittaa aritmeettis-looginen yksikkö, jossa tehdään kaikki piirin matemaattiset laskutoimitukset ja lukujen vertailut. Mikroprosessorin sisäiset rekisterit ovat muistipaikkoja, joiden kautta kaikki prosessorin laskutoimitukset tehdään. Rekisterit myös säilyttävät tilapäistä tietoa tehdyistä operaatioista. (9.)

Toimiakseen mikroprosessori tarvitsee kellosignaalin sekä nollaus- keskeytystulot. Kellosignaalin tehtävän on tahdittaa mikroprosessoria ja tämän johdosta koko mikro-ohjainta. Mikro-ohjaimessa kellosignaali luodaan kello-oskillaattorilla. Kello-oskillaattorin taajuus voidaan määrätä ulkoisesti liitettävällä kiteellä. Mikroprosessori tarvitsee nol্লাustulon mikro-ohjaimen hallittuun käynnistykseen. Kun nol্লাustulo käy aktiivisessa tilassa prosessori pysäytetään ja sen sisäiset rekisterit asetetaan alkuarvoihin. Nol্লাuksen palautuessa lepotilaan prosessori käynnistyy ja aloittaa ohjelma-

muistissa olevan ohjelman suorituksen. Mikroprosessorin keskeytystuloa käytetään esimerkiksi tulosihtaalun muutoksen havaitsemiseen. Keskeytyksessä ohjelma hyppää keskeytyspalveluohjelmaan, jossa suoritetaan halutut toimenpiteet, ja palataan takaisin siihen kohtaan ohjelmassa, jossa keskeytys tapahtui. (9.)

Mikroprosessorit voidaan jakaa käskykantansa ja toimintansa mukaan RISC- ja CISC-prosessorisiin. Karkeasti eritellen RISC-prosessori suorittaa lyhyitä ja yksinkertaisia käskyjä, kun taas CISC-prosessori suorittaa pitkiä ja monimutkaisia käskyjä. Nykyisissä mikro-ohjaimissa käytetään pääsääntöisesti RISC-tyyppistä prosessoria. (9.)

Mikro-ohjaimen mikroprosessoria ja muisteja yhdistää kolme väylää: tietoväylä (*engl. data bus*), osoiteväylä (*engl. address bus*) ja ohjausväylä (*engl. control bus*). Väylällä tarkoitetaan samaan toiminnalliseen ryhmään kuuluvia rinnakkaisia johtimia. Tietoväylää eli dataväylää käytetään tiedon siirtämiseen prosessorin ja muistien välillä.

Väylä on kaksisuuntainen ja sen leveys on tavallisesti 8, 16, 32 tai 64 bittiä. Kun mikro-ohjaimen dataväylänä on 8 rinnakkaista johdinta, sanotaan mikro-ohjaimen olevan 8-bittinen. Tämä tarkoittaa myös sitä että tietoa käsitellään 8-bittisillä rekistereillä.

Osoiteväylällä osoitetaan muistipaikka, johon tiedonsiirto kohdistuu. Osoiteväylä on yksisuuntainen, ja sen leveys määrää osoitettavien muistipaikkojen määrän. Mikro-ohjaimen ohjausväylä ei ole dataväylän ja osoiteväylän mukainen väylä, vaan koostuu erilaisista ohjaavista johtimista, joilla ohjataan esimerkiksi muistin luku- ja kirjoitus. (9.)

Mikro-ohjaimen mikroprosessorin ja muistien liittämiseen käytetään kahta eri menetelmää. Liittämiseen käytetään joko von Neuman- tai Harvard-arkkitehtuuria. Arkkitehtuuria jossa ohjelma- ja käyttömuistilla on yhteiset väylät kutsutaan von Neuman-arkkitehtuuriksi. Ohjelma- ja käyttömuistilla ollessa erilliset tieto-, osoite- ja ohjausväylät on kyseessä Harvard-arkkitehtuuri. Mikro-ohjaimissa käytetään nykyään yleisesti Harvard-arkkitehtuuria. (9.)

Mikro-ohjaimen sisältämät liitäntäpiirit yhdistävät mikro-ohjaimen ulkoiseen elektroniikkaan. Ulkoinen elektroniikka voi olla mm. loistediodeja, kytkimiä, transistoreja ja releitä. Liitäntäpiirit voidaan jakaa tulo- ja lähtöpiiriin, jonka johdosta niitä kutsutaankin I/O-liitäntöiksi. Liitännät ovat pääsääntöisesti kaksisuuntaisia eli jokainen piirin I/O-liitäntä voi toimia joko tulona tai lähtönä. Liitännällä voi olla myös aseteltavia erityistoimintoja, kuten esimerkiksi toiminta keskeytystulona. Mikro-ohjaimen sisältää

lisäksi integroituja eli piiriin sisäisesti liitettyjä oheispiirejä. Tyypillisiä mikro-ohjaimen liitettyjä yksiköitä ovat erilaiset sarjaliikennepiirit, ajastin-laskurit, A/D-muunnin, analoginen jännitevertailija ja reaaliaikakello. Ohjauksen kannalta liitäntäpiirit näkyvät mikroprosessorille vain muutamina I/O-rekisterien muistiosoitteina. Näiden I/O-rekisterien arvot määräävät eri liitäntöjen ja yksiköiden käyttötarkoituksen ja toiminnan. (9.)

Mikro-ohjaimen ohjelmointi voidaan toteutettu laitteesta riippuen joko yleiskäyttöisellä tai valmistajakohtaisella ohjelmointilaitteella. Ohjelmointilaitteen käyttöliittymänä toimii PC-tietokoneen ohjelma ja ohjelmointiliitäntänä sarja-, rinnakkais- tai USB-portti. Osa nykyisistä mikro-ohjaimista ei tarvitse mitään erillistä ohjelmointilaitetta vaan pelkästään piirille soveltuvan ohjelmointijohdon PC:n ja mikro-ohjaimen liittämiseen. (9.)

4.2 Atmel AVR -mikro-ohjaimet

Atmel AVR -mikro-ohjaimella on tyypilliset tarkoitettu 8-bittisen AVR-mikro-ohjainperheeseen kuuluvia mikro-ohjaimia. Mikro-ohjainten ominaisuudet ovat kuitenkin kasvaneet valtavasti, ja nykyään Atmel valmistaa myös 16- ja 32-bittisiä AVR-mikro-ohjaimia. Atmelin valmistamat 8-bittiset AVR-mikro-ohjaimet jaetaan kolmeen eri sarjaan:

- Classic AVR
- tinyAVR
- megaAVR

Ensimmäisenä valmistetusta AVR-ohjainsarjasta käytetään nimitystä Classic AVR tai vain AVR-sarja. Classic AVR-sarjan mikro-ohjaimet ovat merkinnältään AT90S-alkuisia, kuten esimerkiksi sarjaan kuuluva AT90S2313. Sarjan valmistus on nykyään lopetettu, ja sarjaan kuuluneet piirit ovat nykyään korvautuneet vastaavien ominaisuuksien omaavilla tinyAVR- ja megaAVR-ohjaimilla. Esimerkkinä Classic AVR -sarjan ohjain AT90S2313 on korvattu tinyAVR-sarjan ATtiny2313-ohjaimella, joka on uudistettu versio aiemmasta ohjaimesta. Vastaavanlainen päivitys on tehty ATmega8515-ohjaimen korvauksessa AT90S8515-ohjaimen. Nykyään valmistettavia sarjoja verratessa tinyAVR-sarja on ominaisuuksiensa puolesta karsittu versio megaAVR-sarjasta, jonka ohjaimet sisältävät laajan valikoiman eri ominaisuuksia. Suoritusno-

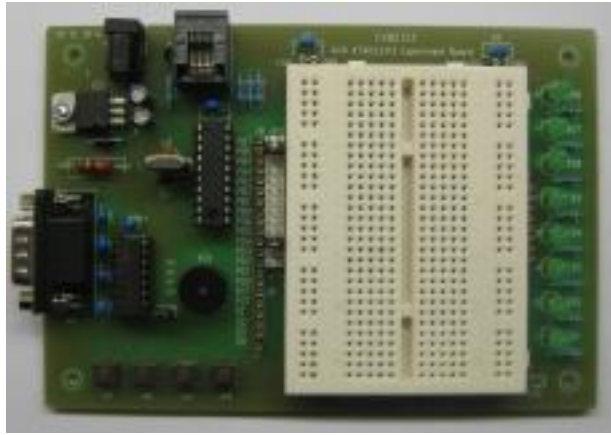
peuden perusteella piirejä ei voida sarjojen kesken jakaa, sillä kaikki AVR-mikro-ohjaimet sisältävät samanlaisen RISC-arkkitehtuurisen prosessoriytimen ja muistirakenteen. Prosessorirakenteen ollessa sama mahdollistuu vaivaton ohjelmiston siirto eri mikro-ohjainten välillä. Ohjelmaa siirrettäessä tulee kuitenkin huomioida ohjelmissa käytettyjen yksiköiden ohjausrekisterien yhteensopivuudet. (9.)

AVR-mikro-ohjaimet eroavat tyypillisesti toisistaan muistikapasiteetissa, piirin liitännöiden lukumäärissä sekä eri ohjainten erikoisominaisuuksissa. Kaikissa mikro-ohjaimissa on kuitenkin vähintään yksi 8-bittinen ajastin-laskuri-yksikkö ja analoginen jännitevertailija. Paljon eri ominaisuuksia sisältävät megaAVR-ohjaimet sisältävät useita ajastin-laskuri-yksiköitä, erilaisia sarjaliitäntöjä sekä A/D-muuntimen. (9.)

AVR-mikro-ohjaimissa käytetään muistiarkkitehtuurina Harvard-arkkitehtuuria, jolloin mikro-ohjaimen ohjelma- ja käyttömuistilla on omat väylänsä. Ohjelmamuistin dataväylän leveys on 16-bittistä ja käyttömuistin 8-bittistä. Ohjelmamuisti on tyypiltään Flash-muistia ja käyttömuisti SRAM-muistia. Ohjelmamuistin koko vaihtelee tiny-AVR-sarjan puolesta kilotavuusta aina megaAVR-sarjan 256 kilotavuun. Mikro-ohjaimien I/O-liitännöiden lukumäärä vaihtelee vastaavasti välillä 4 - 86. Nämä I/O-liitännät ovat ohjaimissa jaettuna 8-bittisiksi rinnakkaisporteiksi, jotka on nimetty PORTA, PORTB, PORTC, PORTD jne. Kaikkien AVR-mikro-ohjaimet soveltuvat hyvin C-kielellä ohjelmoitaviksi ja ne on suunniteltukin niin, että C-kielestä konekieleen käännetty ohjelma saataisiin toteutettua mahdollisimman tehokkaasti. Atmelin AVR-mikro-ohjaimet ovat helpon ohjelmoitavissa mikro-ohjainten sisältämän SPI-liitännän avulla, jolloin tarvitaan vain ohjelmointijohto mikro-ohjaimen ja tietokoneen välille. SPI-liitännän kautta tapahtuvaan ohjelmointiin on myös saatavilla erillisiä ohjelmointilaitteita. (9.)

4.3 EXB2313-alusta

Kuvassa 7 esitetty EXB2313-alusta on Tietomyrsky Oy:n valmistama mikro-ohjainkortti Atmelin AT90S2313- ja ATtiny2313-mikro-ohjaimille. Alusta soveltuu hyvin mikro-ohjainten opiskeluun sekä erilaisten sovelluksien testaukseen. Virtalähteeksi alustalle soveltuu 12 V:n tasajännitettä syöttävä muuntaja. Alustalla tehtävään mikro-ohjaimen ohjelmointiin soveltuu Tietomyrsky Oy:n valmistama STK200/300-tyyppinen aktiivinen ohjelmointikaapeli.



Kuva 7. EXB2313-mikro-ohjainkortti

EXB2313-alusta sisältää seuraavat käyttöominaisuudet:

- syöttöjännite 8...18 V DC
- ohjelmointiliitäntä, RJ11-liitin
- RS-232-sarjaliikennepiiri
- 4 painonappia
- 8 kpl jumbpereilla irtikytettävää LEDiä
- piezo-summeri
- 14 x 29 pisteen kytkentäalusta
- ohjaimen portit vapaasti kytkettävissä

ATtiny2313

ATtiny2313 on Atmelin tinyAVR-mikro-ohjainsarjaan kuuluva 8-bittinen mikro-ohjain, joka tarjoaa tehokkaan ja joustavan ratkaisun erilaisiin sulautettuihin ohjaussovelluksiin. Toimiakseen ATtiny2313 ei tarvitse mitään ulkoisia komponentteja, koska se sisältää kello-oskillaattorin sekä nollauspiirin sisäänrakennettuina.

ATtiny2313-mikro-ohjaimen keskeiset ominaisuudet:

- ohjelmamuisti (Flash) 2 KB
- käyttömuisti (SRAM) 128 B
- EEPROM-muisti 128 B
- I/O-liitännät 18 kpl
- 8-bittinen ajastin-laskuri
- 16-bittinen ajastin-laskuri
- 4 PWM-lähtöä
- analoginen vertailija
- USI-liitäntä
- USART-yksikkö
- vahtiajastin
- ulkoiset ja sisäiset keskeytyslähteet
- sisäinen RC-oskillaattori (10.)

4.4 PROJ32/644-alusta

Kuvassa 8 esitetty PROJ32/644-alusta on Tietopetri Oy:n valmistama Atmelin ATmega32- ja ATmega644-mikro-ohjaimille soveltuva mikro-ohjainkortti, piirien testaukseen ja ohjelmointiin. Käytettävät piirit voidaan helposti ohjelmoida Atmelin AVRISP mkII-ohjelmointilaitteella piirien ollessa kiinni alustalla.



Kuva 8. PROJ32/644-mikro-ohjainkortti

PROJ32/644-alusta on varustettu seuraavilla ominaisuuksilla:

- ohjelmointiliitäntä, IDC-liitin
- sarjaliitäntä
- käyttöjänniteliitäntä 9 ... 18 V (AC tai DC)
- mikro-ohjaimen portit vapaasti käytettävissä
- mitat: 133 mm x 83 mm, mitoitettu koteloon TB-1.7 tai TB-2.9

ATmega32

Piirivalmistaja Atmelin megaAVR-mikro-ohjainsarjaan kuuluva ATmega32 on tehokas mikro-ohjain, joka tarjoaa kustannustehokkaan ratkaisun moniin sulautettuihin ohjaussovelluksiin. ATmega32-mikro-ohjaimen koteloina käytetään 40-nastaista PDIP-koteloita sekä 44-nastaisia TQFP- ja QFN/MFN-koteloita. Ohjaimen liitännästoista jää 32-nastaa yleiskäyttöisiksi I/O-liitännöiksi, jotka muodostavat neljä 8-bittistä rinnakkaisporttia: PORTA, PORTB, PORTC ja PORTD.

ATmega32-mikro-ohjaimen keskeiset ominaisuudet:

- ohjelmamuisti (Flash) 32 KB
- käyttömuisti (SRAM) 2 KB
- EEPROM-muisti 1024 B
- I/O-liitännät 32 kpl
- 8-bittinen ajastin-laskuri 2 kpl
- 16-bittinen ajastin-laskuri
- reaaliaikakello

- 4 PWM-lähtöä
 - analoginen vertailija
 - 10-bittinen A/D-muunnin, 8 kanavaa
 - USART-yksikkö
 - vahtiajastin
 - JTAG-liitäntä
 - SPI-liitäntä
 - two-wire-liitäntä
 - ulkoiset ja sisäiset keskeytyslähteet
 - sisäinen RC-oskillaattori
- (11.)

4.5 PicoScope 2205-PC-oskilloskooppi

PicoScope 2205-PC-oskilloskooppi on vuonna 1991 perustetun Pico Technology -nimisen yrityksen valmistama PC:ltä ohjattava oskilloskooppi. Kuvassa 9 esitetty PicoScope 2205 kuuluu 2-kanavaiseen PicoScope 2200-sarjaan sisältäen oskilloskooppi-toiminnon lisäksi spektrianalysaattori-toiminnon sekä vapaan aaltomuodon generaattorin. Oskilloskoopin ohjaus ja mittaustulosten keruu tapahtuu PicoScope-PC-ohjelmistolla, USB-väylän välityksellä. Ohjelmiston avulla määritetään muun muassa mittauksessa käytettävä näytteenottonopeus sekä mittauksen liipaisuasetukset. Asetusten mukaiset oskilloskoopin mittaukset tallennetaan muistiin ja ne piirtyvät sovelsikkunaan tarkasteltavaksi. Picoscope 2205-oskilloskoopin sisältäessä kehittyneet mittausten liipaisuominaisuudet ja mittaustulosten jatkokäsittelyn se soveltuu hyvin digitaalisten signaalien mittaukseen ja tarkasteluun. Oskilloskoopin näytteenottotaajuus on maksimissaan 200 MS/s yhtä kanavaa käytettäessä ja 100 MS/s kahden kanavan ollessa käytössä. Analoginen kaistanleveys on 25 MHz ja jännitemittausalue – 20...20 V, sisältäen ± 100 V:n ylijännitesuojauksen. (12.)



Kuva 9. PicoScope 2205-PC-oskilloskooppi

5 TOTEUTUKSEN OHJELMISTOT

Työssä tehtyihin Atmelin mikro-ohjaimien ohjelmointiin käytettiin WinAVR- ja Atmel AVR Studio -ohjelmistoja. WinAVR on Atmelin mikro-ohjaimien ohjelmointiin ja testaukseen tarkoitettujen avoimen lähdekoodin sisältävien ohjelmistojen kokoelma. Sen keskeisimpinä ohjelmistoina ovat C-kielinen AVR-GCC-käännin ohjelmakoodin kääntämiseen, sekä AVRDUDE-latausohjelma mikro-ohjaimen ohjelmointiin. Toteutuksessa käytettiin WinAVR-pakettiversiota 20081205, joka on ladattavissa WinAVR-projektin internet-sivulta. (13.)

Toisena ohjelmointityökaluna käytetty Atmel AVR Studio on Atmelin internetin välityksellä vapaasti jakama kehitysympäristö Atmelin mikro-ohjaimille. Se sisältää editorin, assembler-kääntäjän, simulaattorin ja käyttöliittymät eri ohjelmointi- ja emulaattorilaitteille. AVR Studio ei sisällä C-kielen käännintä, mutta se linkittyy automaattisesti käyttämään tietokoneeseen asennettua WinAVR-paketin sisältämää AVR-GCC-C-käännintä. (14.)

Toteutuksen testaukseen ja toiminnan todennukseen käytettiin aiemmin esitellyn PicoScope 2205-oskilloskoopin PicoScope 6-ohjelmistoa. Lisäksi lukijalla vastaanotetut tiedot tarkastettiin PC:n ja mikro-ohjainalustan välisellä sarjaliikenne-yhteydellä, johon käytettiin Br@y++ Terminal 1.9b-pääteohjelmaa.

6 ALUSTAVAN RFID-LUKIJAN OHJAUKSEN TOTEUTUS

Alustava RFID-lukijan ohjaus toteutettiin tunnisteen lukuproseduurin simuloinnilla. Lukijan käyttämän EPCglobal Class-1 Gen2 -standardin mukainen lukusimulointi toteutettiin Atmelin ATtiny2313- ja ATmega32-mikro-ohjaimilla. Mikro-ohjaimista ATtiny2313 ohjelmoitiin mallintamaan tunnistetta ja ATmega32 lukijaa. Ohjauksessa tehtiin standardin määrittämä lukuproseduri, joka etenee seuraavien toimenpiteiden mukaisesti:

- Lukija ohjataan lähettämään kantoaaltoa 1,5 ms:n ajan.
- Lukija lähettää PIE-koodatun kysely- eli Query-komennon, jota edeltää Preamble-tahdistusjakso.
- Tunniste vastaanottaa Query-komennon ja lähettää 16-bittisen satunnaisluvun FM0- tai Miller-koodattuna.

- Lukija vastaanottaa satunnaisluvun ja lähettää PIE-koodatun ACK-komennon, jota edeltää Frame-Sync-tahdistus. ACK-komennossa lähetetään takaisin tunnisteiden lähettämä satunnaisluku.
- Tunniste vastaanottaa ACK-komennon ja vertaa vastaanotettua satunnaislukua lähetettyyn. Jos luvut ovat samat se lähettää sisältämänsä tunnistetiedot FM0- tai Miller-koodattuna.
- Lukija ohjataan aina komennon jälkeen lähettämään tunnisteelle kantoaaltoa.

RFID-lukijan ohjauksen toteutus aloitettiin valitsemalla lukijan PIE-koodauksessa käytettävä Tari-arvo ja data-1-symbolin aika. Lukijan PIE-koodauksessa käytettäväksi Tari-arvoksi valittiin 25 μ s ja data-1-symbolille kaksinkertainen aika 50 μ s. Näiden symbolien yhteispituuden ilmoittavalle RTcal-parametrille määräytyi arvoksi 75 μ s. Koska toteutuksessa pyrittiin mahdollisimman varmaan toimivuuteen käytetyllä laitteistolla, valittiin linkkitaajuudeksi 40 kHz, joka on käytettävistä taajuuksista pienin. Valitusta linkkitaajuudesta laskettiin lukijalta lähetettävän TRcal-symbolin aika kaavan 1 avulla. Standardi määrittää 40 kHz:n taajuudelle jakosuhteen 8, jolloin TRcal-symbolin ajaksi saatiin 200 μ s. Tunnisteen datan koodaukseksi toteutukseen valittiin FM0-koodaus. Koodauksen valinta määräsi myös tunnisteen datanopeudeksi 40 kbps. Toteutukseen valitut symboliajat ovat pulssin ja pulssivälin yhteisaikoja. Jokaista pulssia seuraa pulssiväli PW, joka on puolet Tari-arvosta eli tässä toteutuksessa 12,5 μ s. Taulukossa 1 on kuvattu ohjauksessa käytetyt parametriarvot ja niille määritetyt toleranssit.

Taulukko 1. Toteutuksen parametriarvot. Taulukossa on ensin esitetty toteutukseen käytetyt PIE-koodauksen symboliajat, joille määritetään standardissa ± 1 % toleranssi. FM0-koodauksesta esitetty valittu linkkitaajuus, jonka jaksonaika on FM0-koodauksen symbolien pituus. Linkkitaajuuden vaihteluksi standardi määrittää ± 2.5 %.

Koodaus	Parametri	Kesto aika	Pulssin pituus	Toleranssi
PIE	data-0 / Tari	25 μ s	12,5 μ s	$\pm 0,25$ μ s
	data-1	50 μ s	37,5 μ s	$\pm 0,5$ μ s
	RTcal	75 μ s	62,5 μ s	$\pm 0,75$ μ s
	TRcal	200 μ s	187,5 μ s	± 2 μ s
FM0	BLF	40 kHz / 25 μ s		± 1 kHz

Lukijan ja tunnisteiden välisen yhteyden liikennöintimääritysten jälkeen määritettiin käytettävän Query-komennon rakenne. Taulukossa 2 on esitetty toteutuksessa käytetty

Query-komento, standardin esitysmuodon mukaisesti. Taulukon Bittien lkm-otsikoitu rivi kuvaa komennon eri kenttien sisältämien bittien lukumäärän. Kuvaus-rivi kuvaa kullekin kentälle valittavien bittien arvoja ja niiden merkitystä. Toteutus-rivi esittää simuloinnissa käytetyn Query-komennon bitit. Query-komento aloitetaan aina Command-kentän biteillä, jotka toimivat komennon tunnisteena. Toteutuksen Query-komennon DR-kentän arvon määräsi valittu 40 kHz:n linkkitaajuus ja vastaavasti M-kentän arvon määräsi FM0-koodauksen käyttö. TRext-kentällä valittiin normaali tunnisteiden alkutahdistus, jolloin tunniste käyttää läheteissään kuvan 4 mukaista alkutahdistusta. Sel-kentällä valittiin tunniste kaikille tunnisteille, jolloin jätettiin huomiotta tunnisteiden SL-valintalippu. Session-kentästä valittiin tunnisteiden koodin lukemiseen käytettäväksi S0-istuntoa ja Target-kentälle valitun istuntotilan tunnistulippu-arvoksi A. Tällä valinnalla vain tunnisteet, joiden S0-istuntotilan tunnistulippu-arvo on A huomioivat Query-komennon. Valittu Q-kentän arvo antaa tunnisteelle lähetysvuoronumeroksi nollan ja määrää tunnisteiden välittömästi vastaamaan komentoon. CRC-5-kentässä oleva tarkistusluku on laskettu liitteessä 1 esitetyllä tavalla.

Taulukko 2. Toteutuksen Query-komento. Taulukossa esitetään 22-bittiä sisältävä Query-komento, joka rakentuu 9 eri kentästä. Query-komentoa edeltää kuvan 2 mukainen Preamble-tahdistus. (6.)

	Command	DR	M	TRext	Sel	Session	Target	Q	CRC-5
Bittien lkm	4	1	2	1	2	2	1	4	5
Kuvaus	1000	0:DR=8 1:DR=64/3	00:M=1 01:M=2 10:M=4 11:M=8	0:No pilot tone 1:Use pilot tone	00:All 01:All 10:~SL 11:SL	00:S0 01:S1 10:S2 11:S3	0:A 1:B	0-15	
Toteutus	1000	0	00	0	01	00	0	0000	01110

Query-komennon määrittelyn jälkeen tehtiin käytettävän ACK-komennon määrittely. Komentoa varten tuli määrittää simuloinnissa tunnisteelta lähetettävä 16-bittinen satunnaisluku. Satunnaisluvaksi valittiin luku $ABCD_h = 1010\ 1011\ 1100\ 1101_2 = 43981_{10}$. Lukijan ACK-komento määräytyi tällöin taulukon 3 mukaiseksi.

Taulukko 3. Toteutuksen ACK-komennon rakenne. Taulukossa esitetty 18-bittiä sisältävä ACK-komento Command-tunnistekentästä ja satunnaisluvun sisältävästä RN-kentästä. ACK-komentoa tulee edeltää kuvassa 2 esitetty Frame-Sync-tahdistus. (6.)

	Command	RN
Bittien lkm	2	16
Kuvaus	01	Käytettävä satunnaisluku
Toteutus	01	1010 1011 1100 1101 ($ABCD_h$)

Toteutuksen tunnisteelta lähetettäviksi tunnistetiedoiksi valittiin standardin tunniste-tietojen esimerkkitaulukossa esitetyt tiedot. Taulukossa 4 esitetään standardin esi-merkkitaulukko. Taulukossa on heksadesimaalilukuina esitettynä tunnisteiden EPC-muistialueen esimerkkitiedot 0 - 96-bittiseen EPC-koodiin. Taulukkoon on lisäksi las-kettu jokaisessa sarakkeessa olevien tunnistetietojen CRC-16-tarkistusluvut. EPC-koodin lukeminen testattiin jokaisella 7:llä eri EPC-muistialueen esimerkkitiedolla.

Taulukko 4. *Tunnistetietojen esimerkkitaulukko. Taulukko sisältää tunnisteiden EPC-muistialueen esimerkkitiedot. Kullekin esimerkkitieto-sarakkeelle on laskettu CRC-16-CITT-tarkistussumma sarakkeen ylimmälle riville. (6.)*

EPC osoite	EPC sisältö	EPC-arvot						
00 _h	CRC-16	E2F0 _h	CCAE _h	968F _h	78F6 _h	C241 _h	2A91 _h	1835 _h
10 _h	PC	0000 _h	0800 _h	1000 _h	1800 _h	2000 _h	2800 _h	3000 _h
20 _h	EPC 1	----	1111 _h	1111 _h	1111 _h	1111 _h	1111 _h	1111 _h
30 _h	EPC 2	----	----	2222 _h	2222 _h	2222 _h	2222 _h	2222 _h
40 _h	EPC 3	----	----	----	3333 _h	3333 _h	3333 _h	3333 _h
50 _h	EPC 4	----	----	----	----	4444 _h	4444 _h	4444 _h
60 _h	EPC 5	----	----	----	----	----	5555 _h	5555 _h
70 _h	EPC 6	----	----	----	----	----	----	6666 _h

Parametrien ja komentojen määrittelyn jälkeen suunniteltiin luvussa 3.1 kuvattujen PIE- ja FM0-koodauksen toteutusalgoritmit eli se kuinka koodaus ja dekodaus kysei-sille koodaustavoille tapahtuu ja miten se mikro-ohjaimilla toteutettaisiin. PIE-koodaus päätettiin toteuttaa asettamalla koodattavan tiedon mukaisesti 0- ja 1-tietosymboleille eri pituiset ajat, jolloin lähtö on ylätilassa koodattavan tietosymbolin mukaisen ajan ja vakioajan alatilassa. Tunnisteiden tekemä PIE-koodauksen dekodaus suunniteltiin toteutettavaksi mittaamalla tulevien pulssien pituuksia ja tulkitsemalla asetun raja-arvon alittavat pulssit data-0-symboleiksi ja ylittävät data-1-symboleiksi.

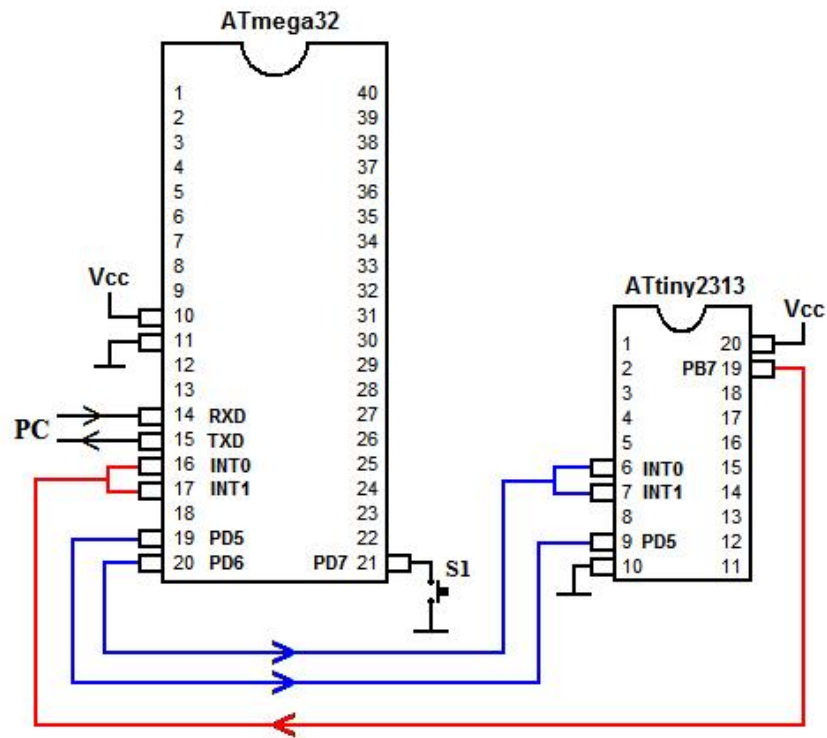
Tunnisteiden sisältämän tiedon FM0-koodaus suunniteltiin tehtäväksi tunnistamalla koodattava tieto 0 tai 1 ja suorittaen tarvittavat lähdön tilan vaihdot. Lukijalla tehtävä FM0-dekodaus suunniteltiin toteutettavaksi laskemalla ensin jokaisen tulossa tapah-tuvan tilan muutoksen välinen aika, jonka jälkeen tehdään aikaväleille tarvittavat ai-kavertailut, joiden avulla saadaan tietosymbolit selvitettyä.

Koska työn tavoitteena oli lukijan standardinmukainen ohjaus, keskityttiin simuloin-nissa lukijan oikeanlaisen toiminnan toteutukseen, mutta tunnisteiden simuloinnissa jä-tettiin standardinmukainen tarkka sisäinen toiminta toteuttamatta. Simuloitu tunniste suunniteltiin ainoastaan varmistamaan koodauksen oikeellisuus ja tekemään lähettä-milleen tiedoille standardin mukainen FM0-koodaus lukijan tulkittavaksi. Tunniste suunniteltiin todentamaan lukijan komennot oikeiksi vertaamalla niitä muistiin tallen-

nettuihin komentotietoihin. Simuloinnissa tunniste ei tällöin tee mitään päätelmiä komennon parametrien mukaan, vaan komennon ollessa oikean muotoinen lähetetään vastaus ohjelmoinnissa määrätyn nopeuden mukaan. Lukijalta tunnisteelle lähetettävää kantoaalto suunniteltiin mallinnettavaksi kytkemällä jännite erilliseen kantoaallon kytkevään nastaan standardin määrittelyjen mukaisesti. Mallinnettava kantoaalto suunniteltiin käytettäväksi tunnisteiden vastaanoton käynnistämiseen. EPC-koodin lukusimulointi suunniteltiin käynnistettäväksi mikro-ohjainalustalla olevasta kytkimestä tai lähettämällä s-kirjain PC-tietokoneen sarjaportista lukijalle. Tunnisteelta luettava EPC-koodi suunniteltiin lähetettäväksi lukijalta sarjaportin kautta PC-tietokoneelle.

Simuloinnin toteutuksen haasteeksi muodostui koodauksille sopivien vastaanottomenetelmien suunnitteleminen käytettyjen mikro-ohjaimien ominaisuuksista. Eri menetelmien suoritettujen testausten jälkeen käytetyksi toteutustavaksi valikoitui sekä lukijassa että tunnisteessa vastaanotettavan datan ohjaus mikro-ohjaimen kahteen ulkoiseen keskeytystuloon, merkitään INTO ja INT1. Tällä ratkaisulla kyettiin ohjelma-keskeytyksiä hyväksikäyttäen havaitsemaan tulevan signaalin nouseva ja laskeva reuna. Tämä ominaisuus yhdistettynä mikro-ohjaimien ajastin-laskureiden käyttöön mahdollisti koodauksien tulkitsemisen.

Simuloinnissa käytetty mikro-ohjaimien periaatekytkentä on esitetty kuvassa 10. Kuvassa esitetään mikro-ohjaimien simuloinnissa tarvittavat kytkennät. ATmega32-ohjaimelta lähetetään Query-komento vastaanottamalla s-kirjain nastan 14 sarjaportti-vastaanotosta tai painettaessa PD7-merkittyyn D-portin 7.-liitäntään liitettyä painonappia. Lukijan PIE-koodattu data lähetetään ATmega32:n nastassa 20 olevasta D-portin 6.-liitännästä, merkitään PD6. Lukijan kantoaaltoa mallinnetaan piirin nastasta 19, joka on D-portin 5.-liitäntä, merkitään PD5. Tunnisteiden lähettämä FM0-koodattu data vastaanotetaan nastoihin 16 ja 17, joita käytetään INTO- ja INT1-keskeytystuloina. Vastaanotetut tunnistetiedot lähetetään nastassa 15 olevasta sarjaporttilähdöstä. Tunnistetta simuloivan ATtiny2313:n nastasta 9 olevasta D-portin 5.-liitännästä todetaan lukijan kantoaalto. Lukijan PIE-koodattu data vastaanotetaan nastoista 6 ja 7, jotka toimivat INTO- ja INT1-keskeytystuloina. ATtiny2313:n nastassa 19 oleva PB7 merkitty B-portin 7.-liitäntä toimii FM0-koodatun tiedon lähetysnastana.



Kuva 10. Toteutuksen mikro-ohjainten kytkentä. Kuvassa sininen johdotus kuvaa lukijaa simuloivalta ATmega32-mikro-ohjaimelta lähteviä johtimia ja punainen johdotus kuvaa tunnistetta simuloivalta ATtiny2313-mikro-ohjaimelta lähtevää johdinta. Viivojen nuolet kuvaavat tiedonsiirtosuuntia.

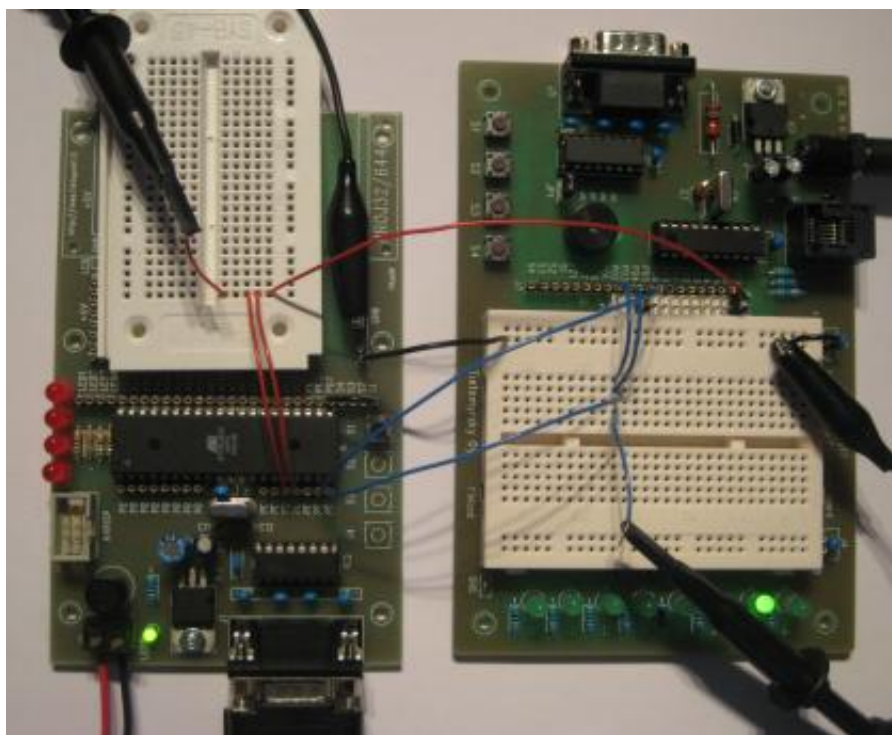
Ennen suunniteltujen algoritmien mukaisen signaloinnin toteutusta ohjelmoitiin ATtiny2313- ja ATmega32-mikro-ohjaimien toimintaa ohjaavat sulakebitit, jotta ohjaimet toimisivat niiden ulkoisten kiteiden määräämillä kellotaajuuksilla. ATtiny2313-ohjaimella käytettiin 12 MHz:n kidettä ja ATmega32-ohjaimessa 16 MHz:n kidettä. ATtiny2313-ohjaimen sulakebitit ohjelmoitiin WinAVR-paketin sisältämällä komentorivipohjaisella AVRDUDE-latausohjelmalla, jota käytettiin graafisen käyttöliittymän AVRDUDE GUI v0.2.0 avulla. Ohjelmointijohtona käytettiin STK200/300-tyyppistä ohjelmointijohtoa. PROJ32/644-alustalla käytetyn ATmega32-ohjaimen sulakebitit muutettiin käyttämällä AVR Studiota, sekä AVRISP mkII-ohjelmointilaitetta. Taulukossa 5 on esitetty käytetyt sulakebitiarvot heksadesimaalilukuina esitettynä.

Taulukko 5. Mikro-ohjaimien sulakebittien arvot. Taulukossa esitetyillä sulakebiteilla mikro-ohjaimet käyttävät kellotaajuuksinaan ulkoisten kiteiden määräämää taajuutta.

Mikro-ohjain	High Fuse Byte	Low Fuse Byte
ATtiny2313	0xDF	0xFF
ATmega32	0x89	0xFF

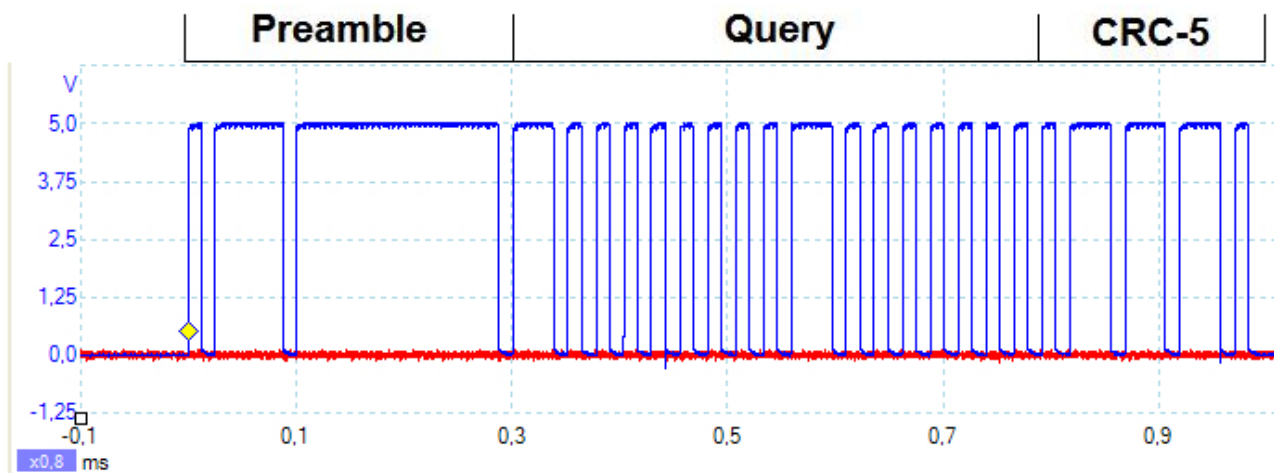
Mikro-ohjaimien ohjelmoinnit suoritettiin kuten sulakebittien ohjelmoinnissa ATtiny2313:lle WinAVR-paketin AVRDUDE-ohjelmalla ja ATmega32:lle AVR Studion kautta. Tunnistussimuloinnin testausmittaukset tehtiin PicoScope2205-PC-

oskilloskoopilla, PicoScope 6-mittausohjelman ohjaamana. Lisäksi ATmega32-mikro-ohjaimen ja PC-tietokoneen välillä käytettiin 9600 kbps:n nopeudella toimivaa sarjaliitäntää, jonka kautta lähetettiin vastaanotetut tunnistetiedot PC-tietokoneelle. Oskilloskooppimittauksissa ATmega32-ohjaimen nastasta 20 lähetetty lukijan signalointi mitattiin oskilloskoopin A-kanavasta. Oskilloskoopin B-kanavasta mitattiin ATtiny2313-ohjaimen nastasta 19 lähetämä signalointi. Kuvassa 11 on esitetty mikro-ohjainalustoilla toteutettu simuloinnin testauskytkentä. Kytkenässä on käytetty alustojen lisäksi pientä koekytkentäalustaa kytkentöjen tekemiseksi. Testauskytkennän johdotus ja johdinvärit vastaavat kuvan 10 periaatekytkentää.



Kuva 11. Simuloinnin testauskytkentä. Kuvassa esitetään simulointikytkentä mittauspisteineen. Vasemmalla lukijaa mallintava ATmega32-mikro-ohjain PROJ32/644-alustalla. Oikealla tunnistetta mallintava ATtiny2313-mikro-ohjain EXB2313-alustalla.

Mittauksissa Picoscope 2205-PC-oskilloskooppi asetettiin käyttämään suurinta mahdollista näytteenottonopeutta. Mittauksista mitattiin ensimmäisenä kuvassa 12 esitetty lukijan lähettämä PIE-koodattu Query-komento. Query-komennosta mitattiin lähetettävien datasyömbolien pituudet. Aluksi syömbolien ajoissa havaittiin $\pm 0,3 \mu\text{s}$:n vaihteluja ja noin $1 \mu\text{s}$:n eroa taulukossa 1 esitettyihin ohjearvoihin. Mitattuihin aikoihin tehtiin ohjelmassa tarvittavat viiveaikojen korjaukset, jolloin syömbolien ajat olivat taulukossa 1 esitettyissä toleransseissa. Taulukossa 6 on esitetty mitatut PIE-koodauksen syömboliajat.

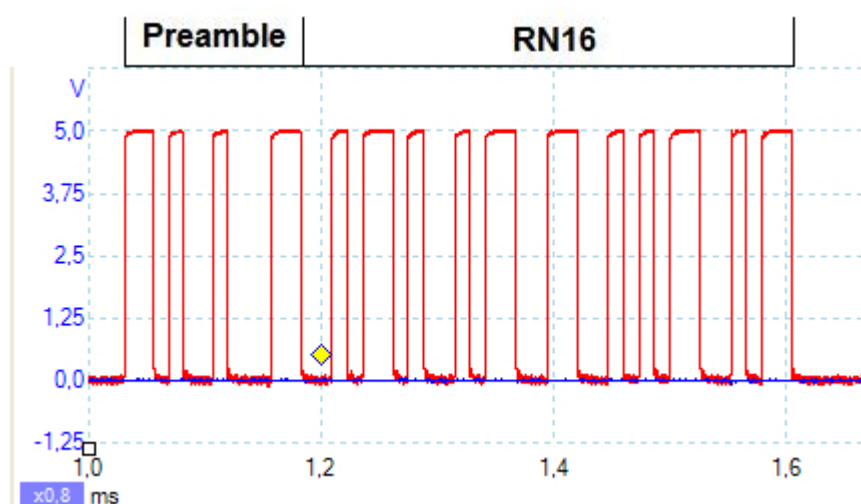


Kuva 12. Lukijan PIE-koodattu Query-komento. Kuvassa taulukossa 2 esitetyn Query-komennon PIE-koodaus Preamble-tahdistuksella. Kuvan mittauksen aika-akselin sarakevälinä on $200 \mu\text{s/sarake}$.

Taulukko 6. Mitatut PIE-koodauksen symboliajat

Symboli	Mitatut ajat (μs)
Data-0	25,12
RTcal	75,1
TRcal	200,0
Data-1	50,25

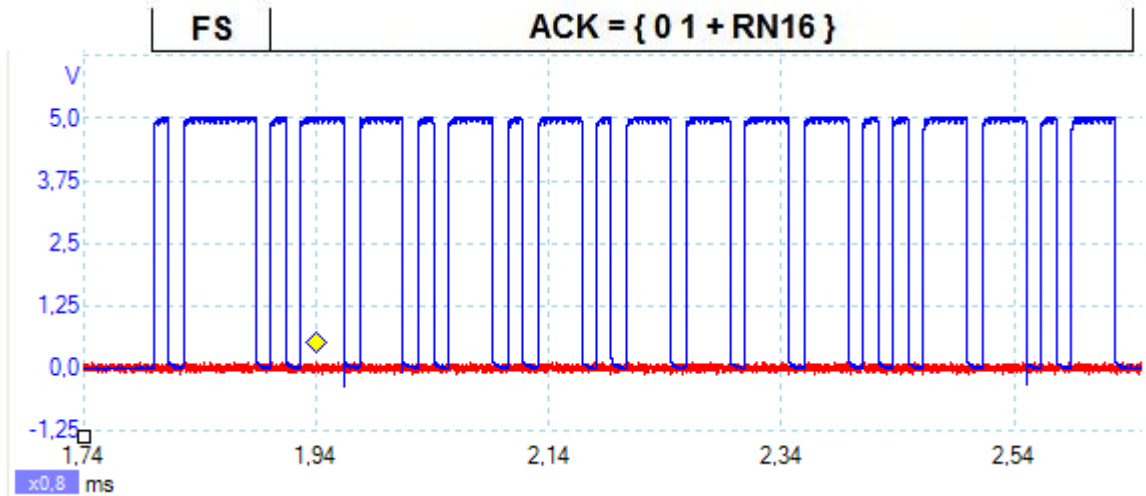
Peräkkäiset signaaloinnit saatiin mitattua käyttämällä Picoscope 2205:n viivästystoimintoa. Kuvassa 13 on esitettyä tunnistetta mallintavan ATtiny2313-ohjaimen lähettämä FM0-koodattu 16-bittinen satunnaislukuvastaus, jota edeltää FM0 Preamble-tahdistus. Kuvan 13 mukainen mittauskuva on saatu viivästämällä näytteistystä $1,2 \text{ ms}$:a Query-komennosta.



Kuva 13. Tunnisteen FM0-koodattu satunnaislukuvastaus. Kuvassa mitattu FM0-koodattu satunnaislukuna käytetty $ABCD_h$ jota edeltää kuvan 4 mukainen FM0-preamble. Kuvan mittauksen aika-akselin sarakevälinä on $200 \mu\text{s/sarake}$.

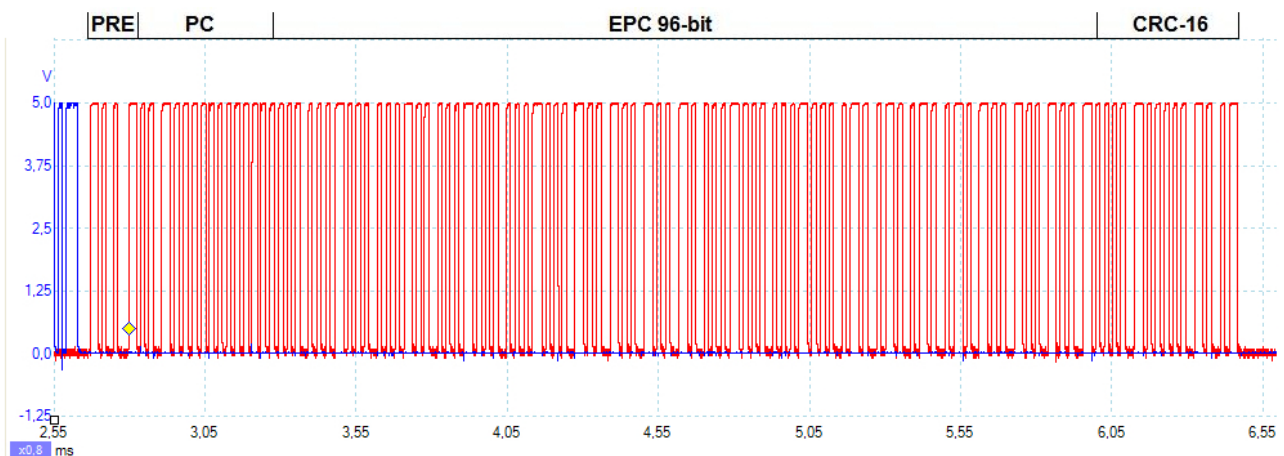
Kuvassa 14 on esitetty lukijan lähettämä ACK-komento, jossa lähetetään PIE-

koodattuna tunnisteiden lähettämä RN16-satunnaisluku. Mittauskuvan signalointi on saatu viivästämällä näytteistystä 1,94 ms:a Query-komennosta.



Kuva 14. Lukijan PIE-koodattu ACK-komento. Kuvassa taulukon 3 mukainen ACK-komento PIE-koodattuna. Komentoa edeltää kuvan 2 mukainen Frame-Sync-tahdistus. Kuvan mittauksen aika-akselin sarakevälinä on 200 μ s/sarake..

Mitatut tunnisteiden FM0-koodatut tunnistetiedot on esitetty kuvassa 15. Jotta koodatut tunnistetiedot saatiin näkymää PicoScope 6-sovelluksen ruudulla kokonaisuudessaan käytettiin aika-akselin sarakevälinä 500 μ s/sarake ja viivästettiin näytteistystä 2,8 ms:lla. Tunnistetietojen lähetys sisältää PC-bitit, EPC-tunnistekoodin ja näiden yli lasketun CRC-16-tarkistusluvun.

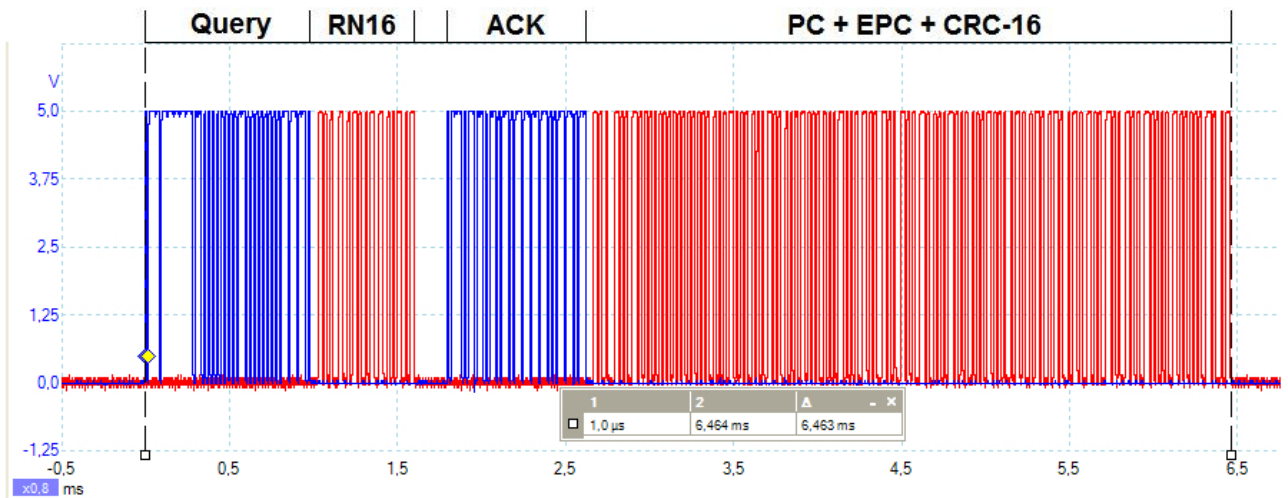


Kuva 15. Tunnisteiden FM0-koodatut tunnistetiedot. Kuvassa esitetty FM0-koodatun 96-bittisen EPC-koodin mittaus.

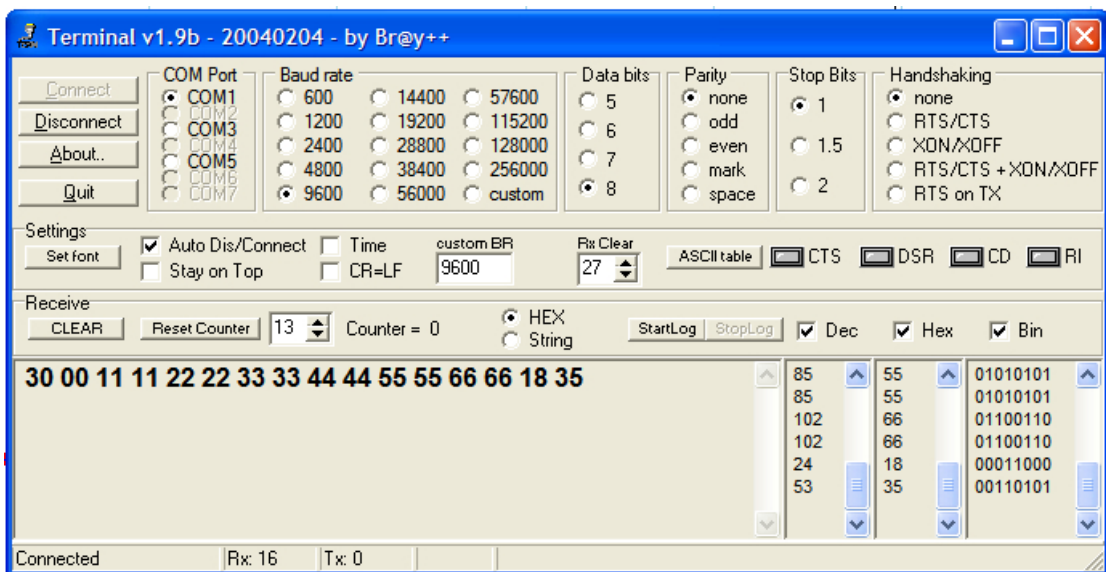
Kuvassa 16 on esitetty tunnisteiden lukuproseduurin signaloinnista tehty mittaus, josta nähdään signaloinnin eri osat. Lukuproseduurin mittaukseen käytettiin aika-akselin sarakevälinä 1 ms/sarake. Lukuproseduurin kestoajaksi mitattiin noin 6,46 ms.

Kuvassa 17 on esitetty Br@y++ Terminal 1.9b-pääteohjelmalla tehty simuloinnin

testaus, jossa vastaanotettiin PC-tietokoneen sarjaportista ATmega32-ohjaimelta lähetetyt tunnistetiedot.



Kuva 16. Tunnistusproseduurin signalointi. Kuvassa simuloidun EPC-koodin lukuproseduurin mittausta, jossa sininen väri kuvaa lukijan lähetettä ja punainen tunnisteeseen.



Kuva 17. Pääteohjelma-testaus. Kuvassa Br@y++ Terminal 1.9b-pääteohjelmalla vastaanotettu tunnistekooditiedot lukijaa mallintaneelta ATmega32-mikro-ohjaimelta. EPC-koodina käytettiin taulukossa 4 esitettyä 96-bittistä EPC-koodiesimerkkiä.

6.1 Lukijan simulointikoodin analysointi

Tässä luvussa analysoituva tunnistussimuloinnissa käytetty C-kielinen lukijan ohjelmakoodi on esitetty liitteessä 2. Lukijaa simuloiva ATmega32-mikro-ohjain aloittaa tunnistussimuloinnin, kun ohjaimen PD7-liitäntään kytkettyä painonappia on painettu tai sarjaportista vastaanotettu s-kirjain. Lukijan komentojen sisältämät databitit on sijoitettuna taulukoihin, joista ne lähetetään PIE-koodattuna tunnisteelle kytkemällä 0-

ja 1-bittejä vastaavat pulssien pituudet PD6-lähtöliitäntään. Pulssien pituuksiin lisätään viiveaikakorjaukset CORR_1 ja CORR_2 symboliaikojen tarkennukseen. Tunnisteelta tuleva FM0-koodattu data vastaanotetaan ulkoisten keskeytystoimintojen INT0 ja INT1 avulla. Ohjelmassa INT0-keskeytys tapahtuu signaalin nousevalla reunalla ja INT1-keskeytys laskevalla reunalla. FM0-koodatun datan ilmaisu aloitetaan tallentamalla tulevassa signaalissa tapahtuvien muutosten aikavälit. Tähän tarkoitukseen käytetään apuna mikro-ohjaimen Timer/Counter0-ajastin-laskuria, joka ohjelmassa laskee 0...255:een kasvattaen arvoa 0,5 μ s:n välein. Laskurin laskemilla lukuarvoilla voidaan ilmaista ajat 0,5...127,5 μ s:iin. Tunnisteen datan vastaanotto-aliohjelmassa otetaan ulkoisten keskeytysten tapahtuessa laskurin aika talteen ja nollataan laskuri, jolloin saadaan signaalin muutosten aikavälit talteen. Muutosten aikaväleistä saadaan tehtyä FM0-dekoodaus tekemällä seuraavat ehtolauseet:

ONKO aikaväli $n < 18,5 \mu$ s ?

ON \rightarrow Onko aikaisempi aikaväli $< 18,5 \mu$ s ?

ON \rightarrow Tulkitaan '0'-tiedoksi \rightarrow Otetaan aikaväli $n+1$ vertailuun

EI \rightarrow Asetetaan muistilippu \rightarrow Otetaan aikaväli $n+1$ vertailuun

EI \rightarrow Onko aikaväli $< 31 \mu$ s ?

ON \rightarrow tulkitaan '1'-tiedoksi \rightarrow Otetaan seuraava aikaväli $n+1$ vertailuun

EI \rightarrow tulkitaan '0'+virhe tai '1'+virhe \rightarrow Otetaan aikaväli $n+2$ vertailuun

Dekoodauksessa käytetään aikavälien tulkinnessa linkkitaajuuden neljännesjakson mittaista tulkintavaraa, ideaaliaikavälien ollessa '0'-tiedolle 12,5 μ s ja '1'-tiedolle 25 μ s.

Ulkoisten keskeytysten lisäksi käytetään ohjelmassa kahta ajastin-laskuri-keskeytystä: Timer/Counter1:n vertailuarvokeskeytystä sekä Timer/Counter0:n ylivuotokeskeytystä. Timer/Counter1:n vertailuarvokeskeytystä käytetään estämään ohjelman jumiutuminen tunnisteen datan vastaanottoon. Jumiutuminen estetään ajastin-laskurin aloitessa laskennan vastaanoton alkaessa, ja mikäli yhtään tilanmuutosta ei havaita laskurin saavuttaessa vertailuaika 20 ms:ia, poistutaan vastaanotosta ja ohjelma palaa odottamaan uuden tunnistuksen käynnistystä. Lukijan vastaanottaessa dataa käytetään Timer/Counter0:n ylivuotokeskeytystä vastaanoton lopettamiseen. Jos tilanmuutosta ei havaita 127,5 μ s:iin edellisestä tilan muutoksesta, lopetaan vastaanotto ja ryhdytään tulkitsemaan dataa.

Tunnistuksessa Query-komentoon liitettävä CRC-5 tarkistusluvun laskenta tehdään suoralla ohjelmakäännöksellä standardissa esitetystä CRC-5-laskennan kytkennästä. Tunnisteelta tulevan tunnistetiedon varmentava CRC-16-tarkistusluku tarkistetaan laskemalla CRC-16-CITT-tarkistusluku tunnistetiedoille ja vertaamalla laskettua arvoa vastaanotettuun. Lukuarvojen tulee olla samat virheettömässä vastaanotossa. CRC-16-CITT-tarkistuksen laskentaan käytetään WinAVR-paketin CRC-16-tarkistuksiin tehtyä kirjastotiedostoa. Kun vastaanotetut tunnistetiedot on ohjelmassa dekodattu virheettä, lähetetään ne sarjaportin välityksellä tietokoneen pääteohjelmalla tarkasteltavaksi.

6.2 Tunnisteen simulointikoodin analysointi

Tässä luvussa analysoitava tunnisteen C-ohjelmointikielinen ohjelmakoodi on esitetty liitteessä 3. Tunnistetta simuloivan ATtiny2313-mikro-ohjaimen ohjelma alkaa vastaanottamaan lukijan komentoja havaittuaan kantaalta kuvaavan signaalin PD5-liitännässä. Lukijan lähettämä PIE-koodattu komento tulkitaan käyttämällä ulkoisia keskeytyksiä INT0 ja INT1 sekä Timer/Counter1-ajastin-laskuria. INT0-keskeytys asetetaan nousevasta reunasta ja INT1-keskeytys laskevasta reunasta. PIE-koodatun datan vastaanotossa INT0-keskeytys nollaa laskurin ja INT1-keskeytys tallentaa laskurin ajan. Tällä menetelmällä saadaan tulevan signaalien pulssien pituudet selville. Lukijan lähettäessä 12,5 μ s:n pulssin '0'-tiedolle ja 37,5 μ s:n pulssin '1'-tiedolle, määritetään tulkinnassa alle 25 μ s pituiset pulssit '0':ksi ja yli 25 μ s:n pulssit '1':ksi.

Lukijalla lähetettävillä Query-komennon parametreilla ei ohjelmassa tehdä muutoksia tunnisteen asetuksiin. Vastaanotettujen datan oikeellisuus todetaan vertaamalla vastaanotettua dataa lukijan komentojen sisältöä vastaaviin taulukoihin. Mikäli vastaanotettu data on sama kuin taulukossa oleva, lähetetään lukijalle vastaus ennalta määrättyllä linkkitaajuudella. Lukijalle lähetettävän tiedon FM0-koodaus tehdään lukemalla lähetettävä data taulukosta ja datasta riippuen vaihtamalla PD7-lähtöliitännän tilaa FM0-koodauksen mukaisesti.

7 YHTEENVETO

Työssä mikro-ohjaimilla tehty EPC-koodin tunnistussimuloinnin signalointi onnistui EPCglobal Class-1 Gen2-standardin asettamien määräysten mukaisesti. Suurin ongelma työssä oli standardin määrittämien koodauksien tekeminen ja tulkitseminen käytetyllä laitteistolla. Toteutuksen ajoituksissa syntyi aluksi virhettä mutta ne saatiin korjattua tarvittavilla viiveaikakorjauksilla. Lukijalle tehty FM0-koodauksen tulkinta-algoritmi ei ole varmasti tehokkain ratkaisu, mutta sillä saatiin toteutettua kohtuullisen varmatoiminen vastaanotto. Työssä saatiin jatkokehittelyä varten tehtyä perusrakenne lukijan ohjaukselle.

Jatkokehittelynä voidaan tehtyihin ohjelmiin suhteellisen helposti lisätä muita standardin määrittämiä komentoja. Ohjauksen kehittelynä voitaisiin simulointiin lisätä esimerkiksi Select-komento, jolla asetettaisiin tunnisteiden tunnistusvalinnat vastaamaan Query-komennon ehtoja. Lisäksi voitaisiin lisätä Access-komennot, jolloin EPC-koodia pystyttäisiin muuttamaan. Mikäli tehtyä toteutusta kehitetään lisäkomennoilla, niin tällöin tulee myös tunnisteiden simulointi tehdä tarkemmin standardin mukaan toimivaksi. Tunnisteelle voitaisiin tehdä täysi mallinnus, jolloin mallintavan mikro-ohjaimen tulisi tehdä standardin mukaisia parametrimuutoksia lukijan lähettämien komentojen mukaan. Tunnisteelle ollessa täysi mallinnus, voitaisiin mm. simuloida linkkitaajuuden ja koodauksen muuttamista. Lisäkehittelyksi lukijan ohjaukseen sopisi myös erillinen PC-ohjelma, jolla lähetetään lukijalle sarjaportin välityksellä käytettävät tunnistusparametrit. Samalla ohjelmalla vastaanotettaisiin ja tallennettaisiin luetut tunnisteiden EPC-koodit vastaanottotiedostoon.

Työssä tehdyn lukijan ohjauksen käyttämistä oikeiden Gen 2 RFID-tunnisteiden EPC-koodin lukemiseen vaaditaan standardin mukaisen radio-osan rakentaminen. Vasta silloin saadaan täysi varmuus työssä tehtyjen koodausmenetelmien toimivuudesta. Ennen radio-osan rakentamista on tietysti hyvä testata simuloinnin toimivuus radiorajapinnan yli käyttäen valmiita radiopiirejä.

LÄHTEET

1. Finkenzeller, K. 2003. RFID Handbook: Fundamentals and Applications in Contactless Smart Cards and Identification 2nd ed. Chichester: Wiley.
2. Lahiri, S. 2006. RFID Sourcebook. Upper Saddle River, NJ: IBM Press.
3. RFID-tekniikan käyttämät taajuusalueet. Saatavissa: [http://www.rfidlab.fi/rfid-tekniikan-käyttämät-taajuusalueet](http://www.rfidlab.fi/rfid-tekniikan-kayttamat-taajuusalueet) [viitattu 14.2.2010].
4. RFID-standardit. Saatavissa: <http://www.rfidlab.fi/rfid-standardit> [viitattu 14.2.2010].
5. ISO Standards. Saatavissa: http://www.iso.org/iso/iso_catalogue.htm [viitattu 26.10.2009].
6. UHF Class 1 Gen 2 Standard v. 1.1.0. Saatavissa: http://www.epcglobalinc.org/standards/uhfc1g2/uhfc1g2_1_1_0-standard-20071017.pdf [viitattu 26.10.2009].
7. Penttinen, J. 2006. Tietoliikennetekniikka: Perusverkot ja GSM. Helsinki: WSOY.
8. Ritter, T.1986. The Great CRC Mystery. Saatavissa: <http://www.ciphersbyritter.com/ARTS/CRCMYST.HTM> [viitattu 4.10.2009].
9. Koskinen, J. 2006. Mikrotietokonetekniikka: Sulautetut järjestelmät. Helsinki: Otava.
10. ATtiny2313 Datasheet. Saatavissa: http://www.atmel.com/dyn/resources/prod_documents/doc2543.pdf [viitattu 7.2.2010].
11. ATmega32 Datasheet. Saatavissa: http://www.atmel.com/dyn/resources/prod_documents/doc2503.pdf [viitattu 7.2.2010].
12. Picoscope 2203, 2204, 2205 User's Guide. Saatavissa: <http://www.picotech.com/document/pdf/ps2203-en.pdf> [viitattu 7.2.2010].
13. Toolchain Overview. Saatavissa: <http://www.nongnu.org/avr-libc/user-manual/overview.html> [viitattu 14.2.2010].
14. AVRStudio 4. Saatavissa: http://www.atmel.com/dyn/Products/tools_card.asp?tool_id=2725 [viitattu 14.2.2010].

CRC-5-TARKISTUKSEN LASKENTA

Liite 1

Varmennettava luku: 10000000010000000₂CRC-5 jakaja: $x^5 + x^3 + 1 = 101001_2$ Esijakaja: 01001₂

```

      1000000001000000000000
XOR  01001
      110010
XOR  101001
      0110110
XOR  101001
      0111110
XOR  101001
      0101110
XOR  101001
      000111100
XOR  101001
      0101010
XOR  101001
      0000110000
XOR  101001
      0110010
XOR  101001
      0110110
XOR  101001
      0111110
XOR  101001
      0101110
XOR  101001
      0001110 → CRC-tarkiste 01110

```

TARKISTUS:

```

      1000000001000000001110
XOR  01001
      110010
XOR  101001
      0110110
XOR  101001
      0111110
XOR  101001
      0101110
XOR  101001
      000111100
XOR  101001
      0101010
XOR  101001
      0000110000
XOR  101001
      0110010
XOR  101001
      0110111
XOR  101001
      0111101
XOR  101001
      0101001
XOR  101001
      0000000 → tarkistus OK

```

```

/*****

```

```

Projekti   : Gen2 UHF RFID-lukijan ohjaus
Laitteisto : PROJ32/644 + ATmega32-16PU 16MHz
Ohjelma    : WinAVR-20081205 + AVR Studio 4.14.589
Tekijä     : EH
Kommentit  :

```

Ohjelma tekee EPCglobal Gen2-standardin mukaisen lukuproseduurin, jossa tunnisteelta luetaan 96-bittinen tunnistetieto. Lukuproseduuri käynnistyy PD7-liitäntään kytketystä kytkimestä tai lähettämällä pääteohjelmalla s-kirjain.

```

Tx: PD6
Rx: PD2 ja PD3 (INT0 ja INT1)
CW: PD5

```

```

*****/

```

```

#include <avr/io.h>
#include <avr/interrupt.h>
#include <util/delay.h>
#include <util/crc16.h>

```

```

#define TARI      25 // lähetysparametrit (us)
#define DATA_0   12.5
#define DATA_1   37.5
#define PW        12.5
#define RTCAL     62.5
#define TRCAL     187.5

```

```

#define DELIMITER 12.5

```

```

#define CORR_1    0.1 // aikakorjaukset
#define CORR_2    1

```

```

#define CW_ON     PORTD |= (1 << PD5) // PD5 -nasta '1'
#define CW_OFF    PORTD &= ~(1 << PD5) // PD5 -nasta '0'

```

```

#define OUT_1     PORTD |= (1 << PD6) // PD6 -nasta '1'
#define OUT_0     PORTD &= ~(1 << PD6) // PD6 -nasta '0'

```

```

#define S1        !(PIND & 0x80) // Kytkin nastassa PD7, kun
                                // kytkintä painetaan lauseen arvo on tosi

```

```

#define PRE       6
#define QUE       17
#define CRC5      5

```

```

#define ACK       2
#define RN16     16

```

```

#define PC        16
#define EPC       96
#define CRC_16    16

```

```

#define BITS      134 // vastaanotettavat bitit PRE+PC+EPC+CRC_16

```

```

#define TRUE      1
#define FALSE     0

```

```

#define ZERO      0
#define ONE       1

```

```

#define BYTES     16

```

```

/*****
/*      Globaalit muuttujat      */
*****/

volatile uint8_t edge_done = FALSE;
volatile uint8_t receive_stop = FALSE;
volatile uint8_t time=0;
volatile uint8_t error = FALSE;
volatile uint8_t start = 0;

const uint8_t tag_preamble[PRE]={1,0,1,0,'v',1};

/*****
/*      Aliohjelmien prototyypit      */
*****/

void USART_Init(void);
void USART_Transmit(uint8_t data);
void Crc5_Calc(uint8_t *query,uint8_t *crc_5);
void Send_Query(uint8_t *query,uint8_t *crc_5);
void Receive_Data(uint8_t *times);
void Decode_Data_FM0(uint8_t *times,uint8_t *data,uint8_t n_bits);
uint8_t Check(uint8_t *data);
void Send_ACK(uint8_t *ack, uint8_t *data);
uint8_t Crc16_Check(uint8_t *data_byte);

/*****
/*      Aliohjelmat      */
*****/

/*****
/*      sarjaportin alustus      */
*****/

void USART_Init(void)
{
    UBRRH = 0x00;
    UBRRL = 0x67; // nopeus 9600 bps XTAL 16MHZ

    UCSRB = 1 << TXEN;
    UCSRC = (1<<URSEL)|(1<<UCSZ1)|(1<<UCSZ0);
}

/*****
/*      sarjaportti-lähetys      */
*****/

void USART_Transmit(uint8_t data)
{
    while( !( UCSRA & (1<<UDRE)) )
        ; // odotetaan kunnes lähetyspuskuri on tyhjä

    UDR = data; //kirjoitetaan lähetettävä tavu datarekisteriin
}

/*****
/*      CRC-5-tarkisteen laskenta      */
*****/

void Crc5_Calc(uint8_t *query,uint8_t *crc_5)
{
    uint8_t i,j;
    uint8_t crc_pre[CRC5];

    for(i=0;i<CRC5;i+)* (crc_5+i)=0;
}

```

```

crc_pre[0]=1;
crc_pre[1]=0;
crc_pre[2]=0;
crc_pre[3]=1;
crc_pre[4]=0;

for(i=0;i<QUE;i++)
{
    *(crc_5) = *(query+i) ^ crc_pre[4];
    *(crc_5+1)= crc_pre[0];
    *(crc_5+2) = crc_pre[1];
    *(crc_5+3) = *(query+i) ^ crc_pre[4] ^ crc_pre[2];
    *(crc_5+4) = crc_pre[3];

    for(j=0;j<CRC5;j++)
    {
        crc_pre[j] = *(crc_5+j);
    }
}

} // Crc5_Calc lopetus

/*****
/*      query-komennon lähetys      */
*****/

void Send_Query(uint8_t *query,uint8_t *crc_5)
{
    uint8_t i;

    /***** preamble *****/
    OUT_1;
    _delay_us(DATA_0);

    OUT_0;
    _delay_us(PW - CORR_1);

    OUT_1;
    _delay_us(RTCAL);

    OUT_0;
    _delay_us(PW - CORR_1);

    OUT_1;
    _delay_us(TRCAL);

    OUT_0;
    _delay_us(PW - CORR_2);

    /*****/

    for(i=0;i<QUE;i++)
    {
        if(*(query+i))
        {
            OUT_1;
            _delay_us(DATA_1 + CORR_1);
            OUT_0;
            _delay_us(PW - CORR_2);
        }
    }
}

```

```

else
{
    OUT_1;
    _delay_us(DATA_0 + CORR_1);
    OUT_0;
    _delay_us(PW - CORR_2);
}

}

for(i=0;i<CRC5;i++)
{
    if(*(crc_5+i))
    {
        OUT_1;
        _delay_us(DATA_1);
        OUT_0;
        _delay_us(PW);

    }

    else
    {
        OUT_1;
        _delay_us(DATA_0);
        OUT_0;
        _delay_us(PW);
    }

}
_delay_us(CORR_2);
} // Send_Query lopetus

/*****
/*      Tunnisteen datan vastaanotto      */
*****/

void Receive_Data(uint8_t *times)
{
    SREG = 0x80; // sallitaan keskeytykset

    uint8_t i=0,j=0;

    error = FALSE;

    TCCR1B = 0x03; // Timer/Counter1 f_clk/8 -> f=250 kHz ,T=4us
    TIFR = 0x10; // Timer/Counter1 OCR1A-lipun nollaus
    TIMSK = 0x10; // Timer/Counter1 OCR1A vertailukeskeytyks käyttöön
    TCNT1 = 0; // Timer/Counter1:n nollaus

    while(receive_stop == FALSE)
    {
        if(edge_done == TRUE)
        {
            SREG = 0; // estetään keskeytykset

            edge_done = FALSE;

            *(times+i)=time;

            i++;

            SREG = 0x80;

            TIFR = 0x01; // ylivuotolipun nollaus
            TIMSK = 0x01; // Timer/Counter0 ylivuotokeskeytyks käyttöön;

        }
    }
}

```



```

SREG = 0;          // estetään keskeytykset

TIMSK = 0;
TCCR1B = 0;

receive_stop = FALSE;

for(j=0;j<7;j++)
{
    if(*(times+j)==0)error=TRUE;
}

} // Receive_Data lopetus

/*****
/*   Vastaanotetun datan FM0-dekoodaus   */
*****/

void Decode_Data_FM0(uint8_t *times,uint8_t *data,uint8_t n_bits)
{
    uint8_t d=0;
    uint16_t j=0;
    uint8_t temp=0;

    for(j=1;j<2*BITS;j++)
    {
        if(*(times+j) < 37)    // time < 18,5us (37 * 0,5us)
        {
            if(temp==1)
            {
                *(data+d)=ZERO;
                temp=0;
                d++;
            }
            else    temp=1;
        }
        else
        {
            if(*(times+j) < 62) // time < 31us (62 * 0,5us)
            {
                *(data+d)=ONE;
                d++;
            }
            else
            {
                if(temp==1)
                {
                    *(data+d)=ZERO;
                    *(data+d+1)='v';
                    temp=0;
                }
                else
                {
                    *(data+d)=ONE;
                    *(data+d+1)='v';
                }
                d=d+2;
            }
        }
    }

    if(d>=n_bits) break;
} // Decode_Data_FM0 lopetus

```

```

/*****
/*          Datan tarkistus          */
*****/

uint8_t Check(uint8_t *data)
{
    uint8_t j;
    uint8_t check=0;

    for(j=0;j < PRE;j++)
    {
        if(tag_preamble[j] == *(data+j)) check++;
    }

    if(check == PRE) return 1;
    else return 0;
}

```

```

/*****
/*          ACK-komennon lähetys          */
*****/

void Send_ACK(uint8_t *ack, uint8_t *data)
{
    uint8_t i;

    /***** Frame-sync *****/

    OUT_1;
    _delay_us(DATA_0);

    OUT_0;
    _delay_us(PW - CORR_1);

    OUT_1;
    _delay_us(RTCAL);

    OUT_0;
    _delay_us(PW - CORR_2);

    /*****

    for(i=0;i<ACK;i++)
    {
        if(*(ack+i))
        {
            OUT_1;
            _delay_us(DATA_1 + CORR_1);
            OUT_0;
            _delay_us(PW - CORR_2);

        }
        else
        {
            OUT_1;
            _delay_us(DATA_0 + CORR_1);
            OUT_0;
            _delay_us(PW - CORR_2);

        }
    }
}

```

```

/* Vastaanotettu sat.luku RN16 */

for(i=0;i<RN16;i++)
{
    if(*(data+PRE+i))
    {
        OUT_1;
        _delay_us(DATA_1 + CORR_1);
        OUT_0;
        _delay_us(PW - CORR_2);
    }
    else
    {
        OUT_1;
        _delay_us(DATA_0 + CORR_1);
        OUT_0;
        _delay_us(PW - CORR_2);
    }
}
_delay_us(CORR_2);
} // Send_ACK lopetus

/*****
/*      CRC-16-tarkistus      */
*****/

uint8_t Crc16_Check(uint8_t *data_byte)
{
    uint8_t i;
    uint16_t crc_16;
    uint8_t crc[2]={0,0};

    crc_16=0xffff;

    for (i = 0; i < (BYTES-2); i++)
    {
        crc_16 = _crc_xmodem_update(crc_16, *(data_byte+i));
    }

    crc_16 = ~crc_16;

    crc[0]=(uint8_t)(crc_16 >> 8); // ylätavu
    crc[1]=(uint8_t)crc_16;       // alätavu

    if(*(data_byte+BYTES-2)==crc[0] && *(data_byte+BYTES-1)==crc[1])
    return 1;

    else
    return 0;
}

```

```

/*****
/*      keskeytyspalveluohjelmat      */
*****/

ISR(INT0_vect) // keskeytyspalveluohjelma PD2-nastan nousevasta reunasta
{
    time = TCNT0;
    TCNT0 = 0;
    edge_done = TRUE;
}

ISR(INT1_vect) // keskeytyspalveluohjelma PD2-nastan laskevasta reunasta
{
    time = TCNT0;
    TCNT0 = 0;
    edge_done = TRUE;
}

ISR(TIMER0_OVF_vect) // Timer0 ylivuotokeskeytys
{
    receive_stop = TRUE;
}

ISR(TIMER1_COMPA_vect) // Timer1 vertailukeskeytys
{
    receive_stop = TRUE;
    error = TRUE;
}

ISR(USART_RXC_vect) // sarjavastaanottokeskeytys
{
    start = UDR;
}

/*****
/*      Pääohjelma      */
*****/

int main(void)
{
    uint16_t i;
    uint8_t j,k;
    uint8_t check = 0;
    uint8_t crc_check=0;

    uint8_t query[QUE]={1,0,0,0,0,0,0,0,1,0,0,0,0,0,0,0};
    uint8_t *p_query = &query[0];

    uint8_t crc_5[CRC5]={0,0,0,0,0};
    uint8_t *p_crc_5 = &crc_5[0];

    uint8_t ack[ACK]={0,1};
    uint8_t *p_ack = &ack[0];

    uint8_t times[2*BITS]; // taulukko havaituille aikaväleille
    uint8_t *p_times = &times[0];

    uint8_t data[BYTES+1]; // taulukko vastaanotetulle datalle
    uint8_t *p_data = &data[0];

    uint8_t data_byte[BYTES];
    uint8_t *p_data_byte = &data_byte[0];

```

```

/* porttialustukset */
DDRB = 0x01; // 0000 0001 merkkivalo
PORTB = 0x00; // 0000 0000

DDRD = 0x60; // 0110 0000 lähdöt: PD5 ja PD6
PORTD = 0x80; // 1000 0000 kytkin nastassa PD7

/* Käytettävien I/O -rekisterien alustukset */
MCUCR = 0x0B; // INT0 nousevasta INT laskevasta reunasta
GICR = 0xC0; // ulkoiset keskeytykset INT0 ja INT1 käyttöön

TCCR0 = 0x02; // laskuri Timer/Counter0:n käynnistys
// clk_timer = f_cpu/8 -> f=2MHz, T=0,5us

OCR1AH = 0x13; // laskuri Timer/Counter1:n vertailurekisterin asetus
OCR1AL = 0x88; // OCR1A = 0x1388 -> 5000 des

USART_Init(); // USART-yksikön alustus

Crc5_Calc(p_query,p_crc_5); // lasketaan CRC-5 tarkistusluku

while(1)
{
    for(i=0;i<(2*BITS);i++)times[i]=0; // nollataan taulukot
    for(i=0;i<(BITS+1);i++)data[i]=0;
    for(i=0;i<BYTES;i++)data_byte[i]=0;

    UCSRB = 0x98; // asetetaan sarjaportin vastaanotto-keskeytys käyttöön
    SREG = 0x80; // sallitaan keskeytykset

    if(S1 || start == 's')
    {
        start = 0;
        SREG = 0; // estetään keskeytykset
        UCSRB = 0x08; // sarjaportin vastaanotto-keskeytys pois käytöstä

        _delay_ms(500); // viive kytkimen painalluksesta

        CW_ON; // kantoaalto päälle

        _delay_us(1500);

        CW_OFF; // kantoaalto pois päältä

        _delay_us(DELIMITER);

        Send_Query(p_query,p_crc_5); // lähetetään Query-komento

        CW_ON; // kantoaalto päälle

        Receive_Data(p_times); // vastaanotetaan RN16

        if(error==FALSE)
        {
            Decode_Data_FM0(p_times,p_data,(PRE+RN16));

            check=Check(p_data);

            if(check)
            {
                CW_OFF; // kantoaalto pois päältä

                _delay_us(DELIMITER);
            }
        }
    }
}

```

```

Send_ACK(p_ack,p_data); // lähetetään ACK-komento
CW_ON; // kantoaalto päälle
Receive_Data(p_times);
CW_OFF;// kantoaalto pois päältä
if(error==FALSE)
{
    Decode_Data_FM0(p_times,p_data,BITS);
    check=Check(p_data);
    if(check)
    {
        /*** muutetaan vastaanottobitit tavuiksi ***/
        k = 0;
        for(j=0;j<BYTES;j++)
        {
            for(i=0;i<8;i++)
            {
                data_byte[j] |= data[6+k] << (7-i);
                k++;
                // bitti-> tavu-muunnos 6.bitistä
                // josta data alkaa
            }
        }
        // CRC-16 tarkistus
        crc_check = Crc16_Check(p_data_byte);
        // jos CRC-16 tarkistus oikein lähetetään
        // data sarjaportin kautta tietokoneelle
        if(crc_check)
        {
            for(i=0;i<(PC/8);i++)
            {
                USART_Transmit(data_byte[i]);
                _delay_ms(5);
            }
            for(i=(PC/8);i<(PC+EPC)/8;i++)
            {
                USART_Transmit(data_byte[i]);
                _delay_ms(5);
            }
            for(i=(PC+EPC)/8;i<(PC+EPC+CRC_16)/8;i++)
            {
                USART_Transmit(data_byte[i]);
                _delay_ms(5);
            }
        }
    } // if(check) lopetus
} // if(error==FALSE) lopetus
} // if(check) lopetus
} // if(error==FALSE) lopetus
CW_OFF;// kantoaalto pois päältä
} // if(s1 || start == 's') lopetus
} // while(1)
} // main(int)

```

```

/*****
Projekti   : Gen2-tunnisteen simulointi
Laitteisto : EXB2313 + ATtiny2313-20PU 12MHz
Ohjelma    : WinAVR-20081205 + AVR Studio 4.14.589
Tekijä     : EH
Kommentit  :

```

Ohjelmassa simuloidaan EPCglobal Gen2-standardin mukaisen tunnisteen toimintaa. Lukijan komennot vastaanotetaan keskeytystuloista INTO ja INT1. Tunnisteen vastaukset lähetetään nastasta 19 (PB7) Lukijalle lähetetään 96-bittinen tunnistetieto.

```

*****/

```

```

#include <avr/io.h>
#include <avr/interrupt.h>
#include <util/delay.h>

```

```

#define TRUE      1
#define FALSE    0

#define PRE       3
#define QUE       22
#define QUERY     25
#define RN16      16
#define FS        2
#define ACK       2

#define ACK_COMM  20 // FS+ACK+RN16

#define T_BLF1    25
#define T_BLF0    12.5

#define INVERT_OUT PORTB ^= 0x80 // PB7
#define OUT_1     PORTB |= (1 << PB7)
#define OUT_0     PORTB &= ~(1 << PB7)

#define CW        PIND & 0x20

#define ZERO      0
#define ONE       1

#define PC        2 // lähetettävien tavujen lukumäärä
#define EPC       12
#define CRC_16    2

```

```

/*****
/*          Globaalit muuttujat          */
*****/

```

```

volatile uint8_t symbol_done = FALSE;
volatile uint16_t time=0;
volatile uint8_t flag0 = FALSE;

const uint8_t preamble_comp[PRE]={0,1,1};

const uint8_t query_comp[QUE]={1,0,0,0,0,0,0,0,0,1,0,0,0,0,0,0,0,1,1,1,0};

const uint8_t rn16[RN16]={1,0,1,0,1,0,1,1,1,1,0,0,1,1,0,1}; // 0xAB,0xCD

const uint8_t ack_comp[FS+ACK]={0,1,0,1};

const uint8_t pc_bits[PC] = {0x30,0x00};
const uint8_t epc[EPC] = {0x11,0x11,0x22,0x22,0x33,0x33,
                          0x44,0x44,0x55,0x55,0x66,0x66};

const uint8_t crc_16[CRC_16] = {0x18,0x35};

```

```

/*****
/*      Aliohjelmien prototyypit      */
*****/

void Receive_command(uint8_t bits,uint8_t *data);
uint8_t Check_query(uint8_t *data);
void Send_RN16(void);
uint8_t Check_ack(uint8_t *data);
void Send_EPC(void);

/*****
/*      Aliohjelmat      */
*****/

/*****
/*      Komennon vastaanotto      */
*****/

void Receive_command(uint8_t bits,uint8_t *data)
{
    SREG = 0x80;

    uint8_t i=0;

    while(i<bits)
    {
        if(symbol_done == TRUE)
        {
            SREG = 0x00;

            symbol_done = FALSE;

            if(time > 0x004B)
            {
                if(time < 0x012C )
                {
                    *(data+i)=ZERO; // t < 25us
                }

                else
                {
                    *(data+i) = ONE;
                }

                i++;
            }

            SREG = 0x80;
        }
    }

    SREG = 0x00;
}

/*****
/*      query-komennon tarkistus      */
*****/

uint8_t Check_query(uint8_t *data)
{
    uint8_t j;
    uint8_t check=0;

```



```

for(j=0;j < PRE;j++)
{
    if(preamble_comp[j] == *(data+j)) check++;
}

for(j=0;j < QUE;j++)
{
    if(query_comp[j] == *(data+PRE+j)) check++;
}

if(check == QUERY) return 1; // jos ei virheitä
else return 0; // jos virheitä
}

/*****
/*          RN16 -lähetys          */
*****/

void Send_RN16(void)
{
    uint8_t i;

    /***** Preamble *****/

    OUT_1;
    _delay_us(T_BLF1);

    OUT_0;
    _delay_us(T_BLF0);

    OUT_1;
    _delay_us(T_BLF0);

    OUT_0;
    _delay_us(T_BLF1);

    OUT_1;
    _delay_us(T_BLF0);

    OUT_0;
    _delay_us(T_BLF0);

    _delay_us(T_BLF1); // ei tilanvaihtoa

    OUT_1;
    _delay_us(T_BLF1);

    for(i=0;i<RN16;i++)
    {
        if(rn16[i])
        {
            INVERT_OUT; // '1' kääntää lähdon tilan kerran
            _delay_us(T_BLF1);
        }
        else
        {
            INVERT_OUT; // '0' kääntää lähdon tilan kahdesti
            _delay_us(T_BLF0);

            INVERT_OUT;
            _delay_us(T_BLF0);
        }
    }
}

```

```

    /**** dummy-bitti ****/

    INVERT_OUT;
    _delay_us(T_BLF1);

    OUT_0;

}

/***** ACK-komennon tarkistus *****/
/*
***** ACK-komennon tarkistus *****/
uint8_t Check_ack(uint8_t *data)
{
    uint8_t j;
    uint8_t check=0;

    for(j=0;j < (FS+ACK);j++)
    {
        if(ack_comp[j] == *(data+j)) check++;
    }

    for(j=0;j < RN16;j++)
    {
        if(rn16[j] == *(data+FS+ACK+j)) check++;
    }

    if(check == ACK_COMM) return 1; // jos ei virheitä
    else return 0; // jos virheit

}

/***** EPC-koodin lähetys *****/
/*
***** EPC-koodin lähetys *****/
void Send_EPC(void)
{
    uint8_t i,j;

    /***** Preamble *****/

    OUT_1;
    _delay_us(T_BLF1);

    OUT_0;
    _delay_us(T_BLF0);

    OUT_1;
    _delay_us(T_BLF0);

    OUT_0;
    _delay_us(T_BLF1);

    OUT_1;
    _delay_us(T_BLF0);

    OUT_0;
    _delay_us(T_BLF0);

    _delay_us(T_BLF1); // ei tilanvaihtoa

    OUT_1;
    _delay_us(T_BLF1);

```

```

/***** PC-bitit *****/
for(j=0;j<PC;j++)
{
  for(i=0;i<8;i++)
  {
    if(pc_bits[j] & (0x80 >> i))
    {
      INVERT_OUT; // kääntää lähdön tilan
      _delay_us(T_BLF1);
    }
    else
    {
      INVERT_OUT;
      _delay_us(T_BLF0);

      INVERT_OUT;
      _delay_us(T_BLF0);
    }
  }
}

/***** EPC-koodi *****/
for(j=0;j<EPC;j++)
{
  for(i=0;i<8;i++)
  {
    if(epc[j] & (0x80 >> i))
    {
      INVERT_OUT;
      _delay_us(T_BLF1);
    }
    else
    {
      INVERT_OUT;
      _delay_us(T_BLF0);

      INVERT_OUT;
      _delay_us(T_BLF0);
    }
  }
}

/***** CRC-16 tarkiste *****/
for(j=0;j<CRC_16;j++)
{
  for(i=0;i<8;i++)
  {
    if(crc_16[j] & (0x80 >> i))
    {
      INVERT_OUT;
      _delay_us(T_BLF1);
    }
    else
    {
      INVERT_OUT;
      _delay_us(T_BLF0);

      INVERT_OUT;
      _delay_us(T_BLF0);
    }
  }
}

```

```

    }
}

/**** dummy-bitti ****/

    INVERT_OUT;
    _delay_us(T_BLF1);

    OUT_0;

}

/*****
/*          keskeytyspalveluohjelmat          */
*****/

ISR(INT0_vect) // keskeytyspalveluohjelma PD2-nastan nousevasta reunasta
{
    TCNT1 = 0;
}

ISR(INT1_vect) // keskeytyspalveluohjelma PD3-nastan laskevasta reunasta
{
    time = TCNT1; // laskurin aika talteen

    symbol_done = TRUE;
}

/*****
/*          Pääohjelma          */
*****/

int main(void)
{
    uint8_t j=0;
    volatile uint8_t check=0;

    uint8_t data[QUERY];
    uint8_t *p_data = &data[0];

    for(j=0;j < QUERY;j++)data[j]=0; // nolllataan data-taulukko

    /* porttialustukset */

    DDRB  = 0xFF; // 1111 1111
    PORTB = 0x00; // 0000 0000

    DDRD  = 0x00;
    PORTD = 0x00;

    /* Käytettävien I/O -rekisterien alustukset */

    MCUCR = 0x0B; // INT0 nousevasta, INT1 laskevasta reunasta
    GIMSK = 0xC0; // ulkoisen keskeytykset INT0 ja INT1 käyttöön
    TCCR1B = 0x01; // laskurin Timer/Counter1:n käynnistys

```

```
while(1)
{
    if(CW)
    {
        Receive_command(QUERY,p_data);

        check=Check_query(p_data);

        if(check)
        {
            Send_RN16();

            Receive_command(ACK_COMM,p_data);

            check=Check_ack(p_data);

            if(check)
            {
                Send_EPC();
            }
        }

        for(j=0;j < QUERY;j++)data[j]=0;
    }
}
}
```